

جامعة قاصدي مرباح ورقلة

كلية الرياضيات وعلوم المادة

قسم علوم المادة



مذكرة: ماستر أكاديمي

المجال: علوم المادة

فرع: فيزياء

تخصص: فيزياء المواد

من إعداد الطالبة: شرفاوي مروة

الموضوع:

تعيين بعض الخصائص المرونية و الطيفية لزوج-اج

مطعم بالهولم-يوم (Ho^{+3})

نوقشت علنا: 2015/05/27

أمام لجنة المناقشة المكونة من:

| | | | |
|--------|-------------|----------------------|----------------------|
| رئيسا | جامعة ورقلة | أستاذ التعليم العالي | أ.د عيادي كمال الدين |
| ممتحنا | جامعة ورقلة | أستاذ مساعد (أ) | أ.مامانو عبد اللطيف |
| مقررا | جامعة ورقلة | أستاذ مساعد (أ) | أ.بن طويلة عمر |

السنة الجامعية: 2015/2014

شكر و عرفان

«رَبِّ أَوْزِعْنِي أَنْ أَشْكُرَ نِعْمَتَكَ الَّتِي أَنْعَمْتَ عَلَيَّ وَعَلَىٰ وَالِدَيَّ وَأَنْ أَعْمَلَ صَالِحًا تَرْضَاهُ

وَأَدْخِلْنِي بِرَحْمَتِكَ فِي عِبَادِكَ الصَّالِحِينَ»

نشكر الله عز و جل أن وفقنا إلى هذا،

نشكر الوالدين الكريمين،

أتقدم بعظيم الشكر و التقدير إلى أستاذي الفاضل بن طويلة عمر الذي طالما حرص على دقة و جودة البحث العلمي و على مجهوداته الكبيرة التي بذلها؛ وقد أشرف على هذه المذكرة و تعهدها بالمتابعة والتوجيه، و أيضا دعمه لي بالنصح والتشجيع.

والشكر موصول إلى أعضاء لجنة المناقشة الأستاذ الدكتور عيادي كمال الدين و الأستاذ مامانو عبد اللطيف على قبولهم مناقشة هذا العمل و جهودهم المبذولة لتقييم هذا البحث. جعلكم الله نبراسا متألئنا ينير درب طالبي العلم في المسار الصحيح.

و يطيب لي أن أتقدم بخالص الشكر و التقدير الى أساتذتي بتخصص ماستر فيزياء المواد بن مبروك لزهري، بوكراع عمار، داودي باحمد، محمدي لزهري، على تكوينهم و مرافقتهم لنا طيلة المسار الجامعي، كما لا أنسى نعيمة بإدارة قسم علوم المادة.

وواجب الوفاء يلزمي تقدير وافر الشكر إلى زملاء الدراسة سنة ثانية ماستر فيزياء المواد دفعة 2015

منال، مريم، مسعودة، وردة، مسعودة، ربيعة، يمينة، حمزة.

الاهداء

إلى قرة عيونى

أمى وأبى حفظهم الله

إلى إخوتى وأخواتى

إلى كل عائلة شرفها

إلى صديقى العزيمى

أهدي هذا الجهد المتواضع.

مروة.....

فهرس المحتويات

| | |
|-----|-----------------------|
| I | إهداء |
| II | الشكر و العرفان |
| III | فهرس المحتويات |
| VII | فهرس الأشكال |
| IX | فهرس الجداول |
| XII | مقدمة عامة |

الفصل الاول: الزجاج

| | |
|---|-----------------------------------|
| 1 | 1.I. مقدمة |
| 1 | 2.I. لمحة تاريخية عن الزجاج |
| 2 | 3.I. حالات المادة |
| 3 | 4.I. تعريف الزجاج |
| 3 | 5.I. الحالة الزجاجية |
| 3 | 6.I. بنية الزجاج |
| 4 | 1.6.I. بنية الزجاج البسيط |
| 5 | 2.6.I. بنية الزجاج المركب |
| 6 | 7.I. أنواع الزجاج |
| 6 | 1.7.I. الزجاج الأكسيدي |
| 6 | 2.7.I. الزجاج الهالوجيني |
| 7 | 3.7.I. الزجاج الكالكوجيني |

| | |
|----|--------------------------------|
| 8 | 8.I خصائص الزجاج |
| 8 | 1.8.I الخواص الضوئية |
| 9 | 2.8.I الخواص الحرارية |
| 10 | 3.8.I الخواص الكهربائية |
| 10 | 4.8.I الخواص الميكانيكية |
| 11 | 9.I خلاصة |

الفصل الثاني: دراسة الخصائص المرورية للزجاج

| | |
|----|---|
| 12 | 1.II المقدمة |
| 12 | 2.II نظرية المرورية |
| 12 | 1.2.II وصف خصائص المرورية من المواد الصلبة |
| 15 | 2.2.II المعاملات المرورية |
| 16 | 3.II الخصائص المرورية للجسم الصلب |
| 17 | 4.II الاختبارات الميكانيكية |
| 17 | 1.4.II الاختبار الاتلافي |
| 18 | 2.4.II الاختبار اللاتلافي |
| 18 | 1.2.4.II اختبارات الأمواج فوق الصوتية |
| 19 | 5.II الطرق التجريبية لتحديد المعاملات المرورية للزجاج |
| 19 | 1.5.II طريقة الأمواج فوق الصوتية |

20 1.1.5.II نظرية القياس بالموجات فوق الصوتية

22 6.II خلاصة

الفصل الثالث: دراسة مطيافية أيونات العناصر الترابية النادرة

23 1.III مقدمة

23 2.III العناصر الترابية النادرة

25 3.III مطيافية أيونات العناصر الترابية النادرة

25 1.3.III الأعداد الكمية

25 2.3.III الرموز الطيفية

26 3.3.III مستويات الطاقة

28 4.3.III قواعد الانتقاء

29 4.III تفاعل الإشعاع مع أيونات العناصر الترابية النادرة

29 1.4.III آليات إشعاعية

34 2.4.III الآليات غير إشعاعية

35 5.III المردودية الكمية

36 6.III المادة المضيئة للعناصر الترابية النادرة

36 7.III ذوبانية العناصر الترابية النادرة

| | |
|----|-------------------------------------|
| 37 | 8.III التضخيم الضوئي و الليزر |
| 37 | 1.8.III التضخيم الضوئي |
| 37 | 2.8.III الليزر |
| 38 | 1.2.8.III التوزيع العكوس |
| 39 | 2.2.8.III الريح |
| 40 | 3.2.8.III الية الضخ |
| 42 | 9.III خلاصة |

الفصل الرابع: تحديد الخصائص المرئية و الوسائط الطيفية للزجاج

79 NaPO₃ – 10 SrF₂ – 10ZnF₂– HoF₃

| | |
|----|---|
| 43 | 1.IV مقدمة |
| 43 | 2. IV تركيبة الزجاج المدروس |
| 44 | 3.IV تعيين الخصائص المرئية للعيينة المدروسة |
| 45 | 4.IV تعيين الخصائص الطيفية للعيينة المدروسة |
| 45 | 1.4.IV طيف الامتصاص |
| 46 | 2. 4.IV نظرية جود-اوفلت |
| 46 | 1. 2.4.IV قوى الانتقال و قوى الاهتزاز |
| 47 | 2. 2.4.IV حساب قوى الانتقال |

| | |
|----|---------------------------------------|
| 48 | 3.2.4.IV قوى الاهتزاز التجريبية |
| 49 | 5.IV المراحل المختلفة للحساب |
| 51 | 6. IV النتائج و المناقشة |
| 58 | 7. IV خلاصة |

فهرس الأشكال

| الصفحة | العنوان | رقم الشكل |
|--------|--|-----------|
| 2 | تمثيل مبسط: (a) مادة بلورية - (b) مادة لابلورية | 1.I |
| 3 | ظاهرة الانتقال الزجاجي | 2.I |
| 5 | مجال استقرار متعددات الوجوه تبعا لقيمة النسبة بين نصفي قطري الشاردتين السالبة و الموجبة (R_C / R_A) | 3.I |
| 7 | مجال شفافية مختلف انواع الزجاج | 4.I |
| 17 | يوضح الاختبارات الاتلافية | 1.II |
| 19 | يوضح الرسوم التوضيحية التخطيطية لطريقة الموجات فوق الصوتية | 2.II |
| 24 | موقع العناصر الترابية في الجدول الدوري | 1.III |
| 28 | مخطط يوضح رفع التطابق لمستويات الطاقة لايون الهولميوم Ho^{+3} | 2.III |
| 28 | مخطط لمستويات الطاقة للايون الترابي النادر Ho^{+3} | 3.III |
| 33 | يوضح اليات تفاعل اشعاع مع المادة | 4.III |
| 37 | رسم تخطيطي لمبدأ المضخم الضوئي | 5.III |
| 38 | مبدأ عمل جهاز الليزر | 6.III |
| 40 | نظام ذو ثلاث مستويات طاقة | 7.III |
| 41 | نظام ذو اربع مستويات طاقة | 8.III |
| 44 | العينة المدروسة | 1.IV |
| 52 | طيف الامتصاص للزجاج الهالوجينو-فوسفاتي المطعم بالهولميوم HO^{+3} | 2.IV |
| 57 | يوضح العلاقة بين مدة الحياة والمقطع الفعال التكاملية | 3.IV |

*

فهرس الجداول

| الصفحة | العنوان | رقم الجدول |
|--------|--|------------|
| 24 | التشكيل الالكتروني للهولميوم Ho^{+3} | 1.III |
| 43 | الكتل المولية و المعامل المولي للمركب NPSZH1 | 1.IV |
| 44 | يعطي المعاملات المرونية لمختلف أنواع الزجاج | 2.IV |
| 52 | الاطوال الموجية و التردد ومعامل الامتصاص و المقاطع الفعال للامتصاص للانتقالات العشرة لأيون الهولميوم Ho^{+3} في الزجاج NPSZH1 | 3.IV |
| 53 | يوضح مقارنة لقيم قوى الاهتزاز المحسوبة مع قيم قوى الاهتزاز التجريبية | 4.IV |
| 54 | يوضح قيم وسائط جود اوفلت (10^{-20} cm^2) لبعض انواع الزجاج المطعم بهولميوم Ho^{+3} | 5.IV |
| 56 | يوضح قوى الانتقال و احتمالية الانتقال الاشعاعية و نسبة التفرع و مدة الحياة الاشعاعية و المقطع الفعال التكاملي للانتقالات لأيون الهولميوم HO^{+3} في الزجاج NPSZH1 | 6.IV |
| 57 | يوضح مقارنة لقيم $\tau, \Sigma, \beta, A_{rad}$ للانتقال $^5I_7 \rightarrow ^5I_8$ لأيون الهولميوم Ho^{+3} في المركب $(79 \text{ NaPO}_3 _ 10 \text{ SrF}_2 _ 10 \text{ ZnF}_2 _ \text{HoF}_3)$ مع انواع اخرى من الزجاج | 7.IV |

مقدمة عامة

يعتبر الزجاج من المواد المهمة في عالمنا، حيث أخذ اهتماما كبيرا خاصة في المجال العلمي والتقني و هو أكثر مادة استعملت في شتى المجالات منذ زمن قديم، فتم استخدامه في صناعة الأواني المفيدة والمواد الزخرفية و مواد الزينة بما في ذلك المجوهرات. الزجاج يعتبر أساس العديد من الصناعات في مختلف المجالات وقد ظهرت بشكل واسع في الحياة المعاصرة فهو يستخدم في مختلف التركيبات الضوئية والطبية والعلمية والصناعية [1].

في وقتنا الحالي وبسبب التغيير والتعديل في التركيب الكيميائي وفي عمليات التشكيل أصبح للزجاج تكنولوجيا عالية جعلت منه منتجا لا يمكن الاستغناء عنه في أي مجال، فالزجاج هو ذلك الجسم الصلب الذي يختص بعدد من السمات المميزة التي تأتي من خصوصية بنيته و لا تجتمع في غيره من المواد، و لا تزال الأبحاث تنشط للتعلم في فهم بنية الزجاج و سلوكه الترموديناميكي و خواصه البصرية [1].

و يتم استخدام الزجاج في التركيبات الضوئية، التي هي عبارة عن زجاج مطعم بكميات من أيونات العناصر الترابية النادرة التي تتميز بعدد من الخصائص البصرية المهمة ، و تستخدم كوسط فعال في العديد من المواد الصلبة نظرا لانتقالها الضوئية العديدة في المجال المرئي و الأشعة تحت الحمراء [2].

الهدف من هذه المذكرة هو تعيين الخصائص الطيفية والمرئية لزجاج مطعم بالهولميوم HO^{3+} ذي التركيب NPSZH1 وذلك بالاعتماد على طريقة الأمواج فوق الصوتية لتحديد الخصائص المرئية و كذلك على نموذج جود اوفلت "Judd-Ofelt" لحساب مختلف الوسائط الطيفية.

نظمتنا هذه الدراسة في أربع فصول:

الفصل الأول: يضم عموميات حول الزجاج، بنيته و أهم خواصه.

الفصل الثاني: يهدف إلى دراسة الخصائص المرئية للزجاج و تحديد المعاملات المرئية

الفصل الثالث: الخصائص الطيفية لايونات العناصر الترابية النادرة، حيث تقوم بإعطاء المفاهيم الأساسية لمطيافية ايونات

العناصر الترابية النادرة

الفصل الرابع: تحديد الخصائص المرئية و الوسائط الطيفية للزجاج NPSZH1 ، و هو الفصل الذي يلم بجوهر الموضوع.

باستعمال طريقة الأمواج فوق الصوتية سنقوم بتحديد المعاملات المرئية (معامل يونغ، نسبة بواسون، درجة حرارة

ديباي...) ، وأيضا تحديد الوسائط الطيفية (احتمالية الانتقال الإشعاعي، مدة الحياة، المقطع الفعال للامتصاص...) باستعمال

برنامج جود اوفلت "Judd-Ofelt". و ثم مقارنة النتائج بدراسات أخرى منشورة.

1.1. مقدمة

الزجاج استخدم من طرف الإنسان منذ آلاف السنين، يعد من المواد المهمة و القديمة حيث أخذ اهتماما كبيرا في المجال العلمي والتقني لفترة طويلة، و يستخدم في صناعة الأدوات الحادة مثل السكاكين و الفؤوس و السهام، بنيتة مميزة أخذت اهتمام الكثير من العلماء، و هو أكثر المواد فائدة في العالم، حيث يستخدم في التضخيم الضوئي إلا أن تطبيق العلم لتحسين الزجاج و العمل على تطويره أخذ وقت طويل حيث تعمل التطبيقات الجديدة على تحسين بنية الزجاج. و يظهر أن الزجاج مستقبل عظيم. فنذكر في هذا الفصل أساسيات الزجاج و أنواعه و خصائصه و سلوكه.

2.1. لمحة تاريخية عن الزجاج

يعود تاريخ صناعة الزجاج إلى عام 2000 قبل الميلاد. و منذ ذلك الحين، دخل الزجاج في أغراض عديدة من حياة الإنسان اليومية. فتم استخدامه في صناعة الأواني المفيدة و المواد الزخرفية و مواد الزينة بما في ذلك المجوهرات. كما كان له تطبيقاته الصناعية و المعمارية. و لقد كانت أقدم المواد الزجاجية عبارة عن خرزات حيث لم يتم التوصل إلى الآنية المخوفة حتى عام 1500 قبل الميلاد .

و يعتبر الصناع الآسيويون هم أول من أرسى صناعة الزجاج ، و منهم انتقلت الصناعة إلى مصر حيث ترجع أول آنية زجاجية إلى حكم تحتمس الثالث (1504-1450 قبل الميلاد). و قد ظلت صناعة الزجاج منتعشة في مصر حتى حوالي عام 1200 قبل الميلاد ثم توقفت فعليا لعدة قرون من الزمان. و في القرن التاسع قبل الميلاد، ظهرت كل من سوريا و العراق كمراكز لصناعة الزجاج ، و امتدت الصناعة عبر منطقة البحر المتوسط. و في العصر الإغريقي، و عرفت مصر بالدور الرئيسي في تزويد القصور الملكية بالزجاج الفخيم. و في القرن الأول قبل الميلاد، تم التوصل إلى عملية نفخ الزجاج في سواحل فينيقيا. و في العصر الروماني، كانت صناعة الزجاج منتشرة في مناطق متعددة من الإمبراطورية الرومانية

و عرف علماء المسلمين البلور وهو الزجاج الممتاز الذي يحتوي على نسب مختلفة من أكاسيد الرصاص، و صنعوه بإتقان، و ما زال يستعمل في صناعة الأقداح و الأواني و الثريات، و كذلك في صناعة الخواتم و أدوات الزينة و كثير من الأدوات المنزلية. و صنعوا منه نظارات العيون، و من العالم الإسلامي انتقلت صناعة الزجاج إلى أوروبا ، و قد تجمعت أسرار هذه الصناعة مع

الفنيين، واحتكرت صناعة الزجاج في أوروبا حتى القرن السابع عشر عندما علمت فرنسا بالتقنيات المطلوبة وأسرارها، وانتقلت إليها صناعة الزجاج وأصبحت أهم مراكزها في العالم

وشهدت الفترة الممتدة بين 1950م و1960م ازدهارا حقيقيا لعلم التزجيج مقارنة بما عرفه علم التعدين (المعادن) قبله بعشرات السنين، خلال العشرينيات الأخيرة، صنف الزجاج ضمن المواد ذات التطبيقات الدقيقة، عالية التخصص، في التقنيات الالكترونية أو البصرية (LASER)، وقد شهد حاليا مجالا جديدا واعداد بعد ضبط واستعمال النواقل الفوتونية في مجال الاتصالات، كما عرف سريعا بأن الزجاج يمكن اعتباره كوسط حقيقي لتفاعلات شتى، وهكذا استمر الزجاج في جلب حلول أصيلة لهذه التقنيات الجديدة [1].

3.1. حالات المادة

يمكن تصنيف حالات المادة في الطبيعة إلى أربعة حالات: سائلة، غازية، بلازمية و صلبة.

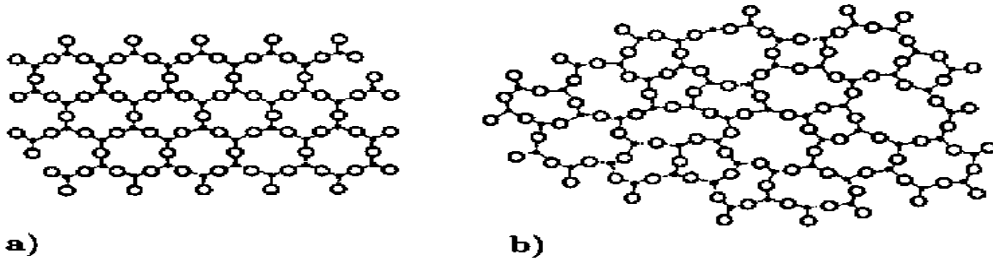
و تنقسم الحالة الصلبة إلى قسمين أساسيين [2]:

• المواد الصلبة البلورية:

المواد الصلبة البلورية تكون ذراتها منتظمة بشكل دوري و تتميز بترتيب ذري منتظم طويل المدى [2].

• المواد الصلبة غير البلورية:

تكون ذراتها بشكل عشوائي و تتميز بترتيب ذري قصير المدى و تضم كل من المواد عديمة البنية (Amorphe) [2].



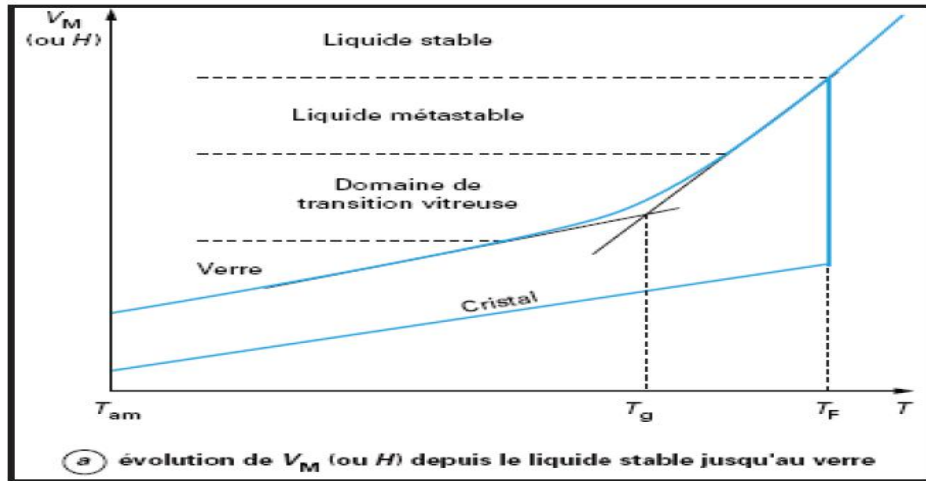
الشكل (1.1): تمثيل مبسط: (a) مادة بلورية - (b) مادة لا بلورية [3].

4.1. تعريف الزجاج

الزجاج هو جسم صلب لا بلوري يتميز بظاهرة الانتقالات الزجاجية، و الحالة الفيزيائية الموافقة هي الحالة الزجاجية [4].

5.1. الحالة الزجاجية

تتميز هذه الحالة بحدوث ظاهرة الانتقالات الزجاجية و التي يتم فيها الانتقال من الطور السائل اللزج إلى الطور الزجاجي. فعندما نقوم بتبريد سائل لزج زجاجي تبريدا سريعا و متواصل يحدث له تقلص تناقص في الحجم مع انخفاض درجة الحرارة حتى تصبح اقل من درجة حرارة الانصهار. فكلما انخفضت درجة الحرارة ارتفعت نسبة اللزوجة و يبدأ السائل في التصلب إلى أن يتحول إلى بلورة. و بمواصلة عملية التبريد و انخفاض درجة الحرارة يثبت الحجم و عندها تسمى درجة الحرارة بدرجة حرارة الانتقال الزجاجي T_g [5].



الشكل (2.1): ظاهرة الانتقال الزجاجي

6.1. بنية الزجاج

وضعت عادة فرضيات من اجل دراسة بنية الزجاج و ذلك منذ بداية القرن العشرين من بينها النظرية البلورية التي طورت من طرف مجموعة من العلماء Lebedev ثم Valenkov ثم Porai-Koshitz و تنص هذه النظرية على أن الزجاج يتشكل من العديد من المحالات الذرية الصغيرة و المرتبة تسمى البلورات.

أما النظرية الثانية التي وضعت من طرف Zachariazen سنة 1932 " نموذج الشبكة العشوائية " تنص على أن عدم وجود مجالات ذرية مرتبة، بل تعتمد بنية الزجاج على طبيعة و نسبة الأكاسيد المكونة له [6].

و تنقسم بنية الزجاج إلى قسمين:

1.6.1 بنية الزجاج البسيط:

يتكون الزجاج البسيط من نوع واحد من الأكاسيد و يكون ترتيب الجزيئات عشوائي و هو يمثل الشبكة العشوائية التي تأخذ أشكال متعددة الأوجه و هي [6]:

1 -الزجاج السليكاتي يتكون من جزيئات SiO_2

2 -الزجاج الفوسفاتي يتكون من جزيئات P_2O_5

3 -الزجاج البوراتي يتكون من جزيئات B_2O_3

• نموذج غولد سميث Goldsmith:

ثلاثة شوارد سالبة A ذات نصف قطر $R_A = 1$ تتربط مشكلة مثلث تتوسطها شاردة موجبة ذات نصف

قطر $R_C = 0.155$ ، و تكتب الصيغة الكيميائية في هذه الحالة CA_3 و هو عبارة عن شكل ثلاثي السطوح و

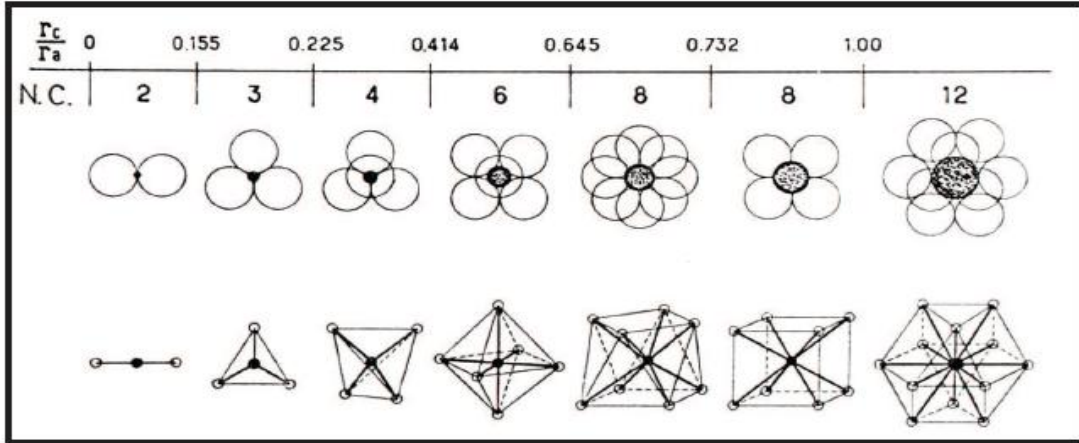
النسبة $R_C / R_A = 0.155$ اذا كان للشاردة السالبة نصف قطر كبير جدا، فان النسبة R_C / R_A الموافقة لهذا

النسق تكون في حدود 0.225 و هي الحالة الأقرب إلى الاستقرار لهذه البنية و الصيغة الكيميائية الموافقة CA_4 وهي

عبارة عن شكل رباعي السطوح، و في حالة النسبة $R_C / R_A = 0.414$ يكون الشكل عبارة عن ثماني أوجه.

الشكل المقابل يوضح مجالات استقرار متعددات السطوح تبعا لقيمة النسبة بين نصفي قطري الشاردين السالبة و الموجبة

[7] R_C / R_A .



الشكل (3.I): مجال استقرار متعددات الوجوه تبعاً لقيمة النسبة بين نصف قطر الشاردين السالبة و الموجبة

$$\cdot (R_C / R_A)$$

• نموذج Zachariasen:

وضح Zachariasen في نموده أن الأكاسيد المشكلة للزجاج يجب أن تخضع لمجموعة قواعد هي:

- أ) عدد ذرات الأكسجين المحيطة بالشاردة السالبة A يجب أن يكون صغيراً.
- ب) أي ذرة أكسجين لا يجب أن ترتبط بأكثر من شاردين موجبتين.
- ج) يمكن أن تشترك متعددات الأوجه في الرؤوس و لكن لا يمكن أن تكون لها أوجه مشتركة.
- د) على الأقل ثلاثة رؤوس لكل متعدد أوجه تكون مشتركة مع متعددات سطوح أخرى [7].

2.6.1. بنية الزجاج المركب

الزجاج المركب يتكون من أكسجين فأكثر من الأكاسيد البسيطة و تصنف هذه الأكاسيد من حيث وظائفها في الشبكة الزجاجية إلى ما يلي [8]:

▪ الأكاسيد المشكلة للبنية الزجاجية

و هي الأكاسيد التي تشكل البنية القاعدية للشبكة الزجاجية و تتميز هذه الأكاسيد بطاقة ربط كبيرة و درجة حرارة ذوبان عالية جداً [8].

▪ الأكاسيد المغيرة للبنية الزجاجية

هي الأكاسيد المغيرة في الشبكة الزجاجية، حيث تضاف هذه الأكاسيد للتركيب الأولية للزجاج و ذلك للحصول على خصائص فيزيو كيميائية، و هي أكاسيد قلوية أو قلوية ترابية [8].

▪ الأكاسيد الوسيطة

هي أكاسيد تقوم بالوظيفتين أكاسيد مشكلة و أكاسيد مغيرة منها (Al_2O_3 , PbO , ZnO , TiO_2) و تعمل هذه الأكاسيد على استقرار الشبكة الزجاجية بمنحها خاصية عدم التغير و الذوبان [8].

7.1. أنواع الزجاج

تنقسم أنواع الزجاج إلى ثلاثة عائلات كبرى و هي الزجاج الأكسيدي و الزجاج الهالوجيني و الزجاج الكالكوجيني [9].

1.7.1. الزجاج الأكسيدي

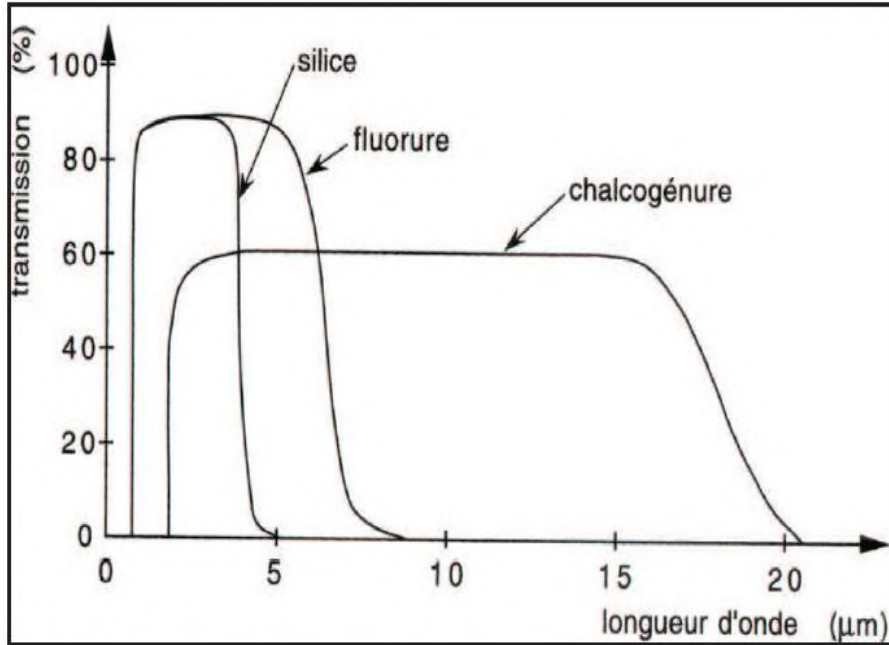
يمثل هذا النوع من الزجاج أكبر عائلات الزجاج الصناعي و يتميز بخصائص ترموديناميكية ممتازة و بقاء كيميائي جيد و له استقرار حراري عظيم و مقاومة عالية جدا للتآكل، يستعمل هذا النوع من الزجاج لصناعة الألياف الزجاجية البصرية و بعض أنواع زجاج اللحام مع المعادن و يستعمل في تطبيقات زجاج الليزر. و له عدة أنواع (زجاج أكسيد الجرمانيوم، زجاج أكسيد السيليسيوم، زجاج أكسيد البور، زجاج أكسيد الفوسفور) [9].

2.7.1. الزجاج الهالوجيني

الزجاج الهالوجيني أساسه الأملاح (الفلورور، الكلورور، البرومور، اليودور)، أغلب أنواعه غير مستقرة كيميائيا ماعدا زجاج الفلورايد له خصائص ميكانيكية و كيميائية جيدة. تشكل بعض مركبات الفلوريدات أنواع من الزجاج اللاعضوي و هي ذات أهمية تجارية نظرا لنفوذتها للأشعة تحت الحمراء و لاستخدامها في الألياف البصرية للاتصالات [9].

3.7.1. الزجاج الكالكوجيني

اكتشف هذا النوع من الزجاج سنة 1945، حيث يتم تشكيل هذا النوع من الزجاج من عناصر المجموعة IV_a مزوج بعناصر أخرى، كما تعد بعض العناصر الكالكوجينية (الكبريت و السيلينيوم) أساس الزجاج الكالكوجيني الذي يتميز بشفافيته الكبيرة للأشعة تحت الحمراء و استقراره الكيميائي كما تتميز جزيئاته بروابط كيميائية متكافئة [9].



الشكل (4.I): مجال شفافية مختلف أنواع الزجاج

8.1. خصائص الزجاج

1.8.1. الخواص الضوئية

• الشفافية

يمتاز الزجاج بشفافية صافية متجانسة، تمر من خلاله جميع الأشعة الضوئية من فوق البنفسجية إلى تحت الحمراء كما

أن

له خاصية الاحتفاظ بالأشعة ذات التأثير الحراري، و تعرف الشفافية بقانون Beer Lambert [10] :

$$(1.1) \quad I = I_0 \exp(-\alpha X)$$

I : شدة الإشعاع الصادر

I_0 : شدة الإشعاع الوارد

X : سمك عينة الزجاج

α : معامل الامتصاص

• قرينة الانكسار

قرينة انكسار الزجاج n تعبر عن سرعة انتشار الضوء في الزجاج و هي النسبة بين سرعة الضوء C في الفراغ و سرعة

الضوء في الزجاج v [10].

$$(2.1) \quad n = c/v$$

سرعة الضوء في الفراغ هي نفسها مهما كان الطول الموجي، و هذا ليس في جميع المجالات الأخرى. و بالتالي فان قرينة

الانكسار تعتمد على الطول الموجي، تتناقص قرينة الانكسار كلما زاد الطول الموجي λ .

هذا الاختلاف يسمى التشتت و يعرف بالعلاقة التالية:

(3.1)

$$D = \frac{dN}{d\lambda}$$

2.8.1. الخواص الحرارية

• اللزوجة

تعد اللزوجة من أهم خصائص الزجاج، فهي عامل مهم في تشكيله، و تتعلق خاصة بدرجة الحرارة و التركيب الكيميائي.

ترتبط اللزوجة بمقاومة السائل لاجهادات القص فكلما كانت اللزوجة عالية كانت اجهادات القص عالية [8].

يمكننا اعتبار الزجاج كسائل مثالي ترتبط لزوجته η باجهاد القص σ و سرعة التشوه الزاوي $\frac{dy}{dt}$.

• التوصيل الحراري

يتميز الزجاج بتوصيل حراري ضعيف حيث يكون معدل سريان الحرارة في الزجاج أقل بكثير مقارنة بالمعادن، و الزجاج

الذي له أكبر توصيل حراري هو الزجاج السيليكاتي [1].

• التمدد الحراري

عند ارتفاع درجة الحرارة ترتفع الطاقة الحرارية، مما يؤدي إلى زيادة سعة اهتزاز الجزيئات. و ينجم عن ارتفاع درجة الحرارة

التمدد الحراري، الذي يعلمنا عن ردود فعل الزجاج للصدمات الحرارية [1].

• البقاء الكيميائي

هو مفهوم يعبر عن مدى مقاومة الزجاج للتآكل الناتج عن تعرضه للمحاليل المائية كالأحماض و رطوبة الجو و العوامل

الكيميائية و يعتبر الزجاج السيليكاتي مقاوم كبير لهذه العوامل نظرا لقوة الروابط بين جزيئاته [1].

3.8.1. الخواص الكهربائية

في الدرجات الحرارة العادية يكون الزجاج رديئاً التوصيل للكهرباء و يعتبر في هذه الحالة من المواد العازلة، و تختلف مقاومة الزجاج للكهرباء باختلاف تراكيبه، و بارتفاع درجة الحرارة تقل مقاومة الزجاج للتيار الكهربائي، بل تزيد الرطوبة من قابلية التوصيل للتيار الكهربائي [10].

4.8.1. الخواص الميكانيكية

• الصلادة

و هي قدرة مقاومة الزجاج لعوامل الخدش و الاحتكاك ، و تختلف صلادة الزجاج باختلاف تركيبه. فالزجاج البوتاسي أكثر أنواع الزجاج صلادة فهو يقاوم عوامل الاحتكاك دائما، تقدر صلادة الزجاج بنسب الأكاسيد المكونة له [11].

• المرونة

و هي عودة الجسم إلى شكله الأصلي بعد زوال المؤثر عليه و تقدر مرونة الجسم بالثقل الذي يتحمله. و تزداد مرونة الزجاج بارتفاع درجة الحرارة [11].

• المتانة

تختلف متانة الزجاج باختلاف تركيبه فتزداد بزيادة نسبة السيليكا و كذلك ترفع الألومينا متانة الزجاج بينما نلاحظ أن متانة الزجاج تضعف بالتسخين الطويل [11].

9.1. خلاصة

ذكرنا في هذا الفصل بعض المفاهيم الأساسية حول الزجاج، الزجاج هو جسم صلب لابلوري يتمتع بظاهرة الانتقال الزجاجي، فمن الممكن الحصول عليه بعدة مركبات بحيث يختلف نوع الزجاج باختلاف تركيبه، وقد بينا أنه هناك ثلاث عائلات كبرى للزجاج وهي الزجاج الأكسيدي، الهالوجيني، الكالكوجيني، كما تطرقنا في نهاية هذا الفصل الى بعض خصائص الزجاج مثل الخصائص الضوئية و الحرارية و الكهربائية و الميكانيكية.

و يناقش الفصل الثاني بعض الخصائص المرئية للزجاج محل الدراسة.

الفصل الثاني

دراسة الخصائص المرورية للزجاج

1.1. المقدمة

علم المرونة هو أحد علوم ميكانيكا الأجسام المتصلة والذي يهتم بدراسة سلوك جزيئات المادة عندما يتم التأثير عليها بقوة خارجية سواء كانت هذه القوة سطحية أو حجمية. ولقد أصبح لعلم المرونة أهمية كبيرة نظراً لكثرة تطبيقاته في الحياة العملية وارتباطه ببعض العلوم الهامة الأخرى مثل هندسة المواد وعلوم النانو وتكنولوجيا النانو. في بداية تطور نظرية المرونة كانت تهتم فقط بدراسة سلوك المواد وخصائصها، من ناحية الشكل والحجم والتغيرات التي تحدث لها بعد زوال تأثير القوى المؤثرة والمسببة.

في عام 1678م كان العالم روبرت هوك (R. Hooke) هو أول من عرف الجسم المرن وكلمة مرونة حيث وضع أول قانون يربط بين القوة المؤثرة على جسم مرن ومقدار الاستطالة (الانفعال) الذي حدث في الجسم، ثم قام كوشي (Cauchy) بإعطاء تصور رياضي للنظرية الخطية للمرونة لجسم معزول حرارياً.

و في هذا الفصل سوف نستعرض بعض الخصائص المرورية للزجاج محل الدراسة و نذكر أهم الطرق التجريبية لتعيين المعاملات المرورية.

2.1. نظرية المرونـة

1.2.1. وصف خصائص المرونة من المواد الصلبة

يوصف السلوك العياني لمادة صلبة عن طريق نظرية الحقل المستمر وهي نظرية المرونة، التي تصف طريقة التشوهات الصلبة عندما يتم تطبيق الضغوط الخارجية، وقابلية المادة على استعادة شكلها الأصلي بعد إزالة القوة المؤثرة والمسببة للتشوه [12]. فإن الجسم الصلب يسلك شكل وحجم التغيرات إلى حد ما تحت تأثير الإجهاد المطبق، وكل نقطة في الجسم الصلب هي في العامة غير متوضعة. و يعبر عن مؤثر الإجهاد لتشوهات صغيرة إذا كان (X_1, X_2, X_3) ، U_{ij} ، [هو عنصر النزوح عند النقاط (X_1, X_2, X_3)] |13|:

$$(1. II) u_{ij} = \frac{1}{2} \left(\frac{\partial u_i}{\partial x_j} + \frac{\partial u_j}{\partial x_i} \right)$$

عندما يحدث تشوه، فإن الجسم لن يكون في حالته الأصلية من التوازن، وبالتالي تنشأ القوى التي تسمى الضغوط الداخلية والتي تميل لعودة الجسم إلى حالة توازنه.

إذا كان تشوه الجسم صغير نوعاً ما، فإنه يعود إلى حالته الأصلية عندما يتوقف تأثير القوى الخارجية، و تعرف هذه التشوهات بالتشوهات المرنة. أما التشوهات الكبيرة فإنه عند إزالة القوى الخارجية لا يمكن للجسم أن يعود لشكله الكامل بعد التشويه، وهذه التشوهات هي البلاستيك.

هناك أنواع مختلفة من المعاملات حيث يعتمد نوع المعامل على نوع التشوه الذي تتعرض له المادة كالاستطالة والانحناء وغيرها. وتمثل المعاملات جميعها بإيجاد نسبة الإجهاد إلى الانفعال ضمن حدود المرونة.

• الإجهاد Stress

يعرف بأنه القوة المؤثرة على وحدة المساحات ووحدة نيوتن / م² والإجهاد أنواع منها إجهاد الشد وينتج عنه زيادة في الطول وإجهاد الضغط و ينتج عنه نقص في الطول أو تغير في الحجم وإجهاد القص (إجهاد مماسي) و ينتج عنه تغير في شكل الجسم الهندسي [11][12].

• الانفعال Strain

يعرف الانفعال أو المطاوعة بأنه تشوه تلك المادة كما يعرف أيضاً على أنه التغير النسبي الذي يسببه الإجهاد لأبعاد الجسم أو شكله أو حجمه وهناك أنواع عدة للمطاوعة وهي مطاوعة الشد ومطاوعة الكبس ومطاوعة القص [11][12]. للحصول على الخواص الصلبة، في حالة تشوهات مرنة، مؤثر الإجهاد في شروط مؤثر الانفعال تعطى بالعلاقة [13]:

$$(2. II) \sigma_{ij} = K u_{ll} \delta_{ij} + 2G(u_{ij} - \delta_{ij} u_{ll}/3)$$

حيث K: هو معامل الجسمي.

G: هو معامل العرضي

و يتم وصف سلوكها المرن بالكامل من قبل معامل الطولي L و أيضا معامل العرضي و تعرف علاقة كوشي العلاقة بين L و G بـ $(L=3G)$ ، و هذه العلاقة صالحة للمواد الصلبة موحدة الخواص التي تتألف من جزيئات تتفاعل مع جسيمين القوة المركزية، و يمكن أن ينص عليه [13]:

(3. II)

وهذا يعني أن L و K تساوي 0 عندما $G = 0$.

بالتفاعل الكموني للينارد جونز، هذه العبارة تتغير $L=a+bG$ حيث a و b ثوابت. وهذا يؤدي إلى العلاقة [13]:

(4. II)

والذي يعرف باسم علاقة كوشي المعممة. a و b تبقى ثابتة مع تغير درجة الحرارة والضغط، ولكن تتأثر بتغير صغير في الكمون. هذه العلاقة هي صالحة لكل من السوائل و الزجاج.

في الآونة الأخيرة، لوحظ تعميم علاقة كوشي على إجرائها في السوائل فائقة التبريد ويمكن التعبير عن: $L(T) = BG(T) + A$ ، حيث A و B ثوابت مستقلة من T و P ضمن نطاق تعمل على التحول الزجاجي.

للتشوه البسيط فان u_{ij} هي دالة خطية، وهذا التشوه يتناسب مع القوى المطبقة. يسمى هذا القانون بقانون هوك، الذي هو في الواقع ينطبق على التشوهات كلها تقريبا مرنة في المواد الصلبة. في حالة بسيطة لتشوهات متجانسة فيه موث الانفعال هو ثابت في جميع أنحاء حجم الجسم، و موث الإجهاد معطى بدلالة موث الانفعال بـ [13]:

$$(5. II) \sigma_{ij} = \frac{E}{1+\nu} \left(u_{ij} + \frac{\nu}{1-2\nu} u_{ij} \delta_{ij} \right)$$

حيث E : هو معامل يونغ.

2.2.II. المعاملات المرورية Elastic modules

يعتبر الزجاج مادة صلبة مرنة، و هذا يعني عند تعرضه لإجهاد ميكانيكي فانه ينعكس تمام [18].

و تعرف هذه النظرية بتفاصيل استجابة المواد للاجهادات المسلطة عليها حيث تستعمل معاملات مختلفة و تعرف بالمعاملات المرئية هي: معامل يونغ E ، المعامل الجسمي k ، المعامل العرضي G ، و المعامل الطولي L ، بالإضافة إلى نسبة بواسون ν [14][15].

▪ المعامل الطولي Module longitudinally

المعامل الطولي L يعبر عن استطالة العينة تحت تأثير الإجهاد الطولي، يحدث توسع في اتجاه عمودي على استطالة الانكماش العرضية [14].

▪ المعامل الجسمي Module rigidity

يصف المعامل الجسمي استجابة انفعال الجسم إلى الضغط الهيدروستاتيكي الذي يعمل على تغيير في الحجم دون تغيير الشكل و يطبق الإجهاد على جميع الأطراف [14].

▪ المعامل العرضي Module shear

ويتعلق المعامل العرضي باستجابة انفعال الجسم للإجهاد القص، الذي يعمل على تغيير الشكل دون تغيير الحجم و إجهاد القص يؤدي إلى عملية القص، و المعامل الموافق G يحمل الكثير من التسميات و هي معامل القص، المعامل العرضي و معامل الالتواء [14].

▪ معامل يونغ Module Yong

يدعى معامل يونغ نسبة إلى توماس يونغ (العالم البريطاني القرن ال19). ومع ذلك، تم تطوير مفهومه في عام 1727 من قبل ليونارد يولر، وأجريت التجربة الأولى التي يستخدم فيها مفهوم معامل يونغ من قبل العالم الإيطالي جيوردانو ريكا في 1782.

و يعرف معامل يونغ باسم معامل الشد، هو مقياس لصلابة من مادة مرنة الخواص. ويعرف بأنه نسبة الإجهاد ذو محورين على انفعال ذو محورين في نظام مرن [14][15].

هذا ويمكن تحديده تجريبيا من منحني الإجهاد والانفعال التي تم إنشاؤها أثناء اختبارات الشد أو الضغط التي أجريت على المواد. و بشكل غير صحيح، يسمى معامل يونغ بمعامل المرونة، لأن معامل يونغ E هو ثابت مرونة الأكثر شهرة، والذي هو الأكثر شيوعا في التصميم الهندسي [13].

▪ نسبة بواسون Poisson Coefficient

سميت نسبة إلى سيميو نبواسون، وهي خاصية مادية هامة تستخدم في تحليل المرونة من المواد، عندما يتم ضغط مادة في اتجاه واحد، فإنه يميل عادة للتوسع في غيرها من اتجاهين عمودي على اتجاه الضغط. وتسمى هذه الظاهرة تأثير بواسون، وهي النسبة بين الانكماش العرضي والاستطالة النسبية [14][18].

3.11. الخصائص المرنة للجسم الصلب

تعتمد الخصائص المرنة للجسم الصلب على درجة الحرارة، يمكن للتشوهات أن تحدث مصحوبة بتغيير في درجة حرارة الجسم إما نتيجة لعملية تشويه نفسها أو من أسباب خارجية. ومن بين أنواع مختلفة من التشوهات، تشوهات متساوي الحرارة ومكظوم الحرارة ذات أهمية. في تشوه متساوي الحرارة، درجة حرارة T للجسم لا تغير كل من المعامل الجسمي (K)، معامل يونغ (E)، المعامل العرضي (G)، و نسبة بواسون (ν) وبالتالي يمكن أن تسمى معاملات المرونة متساوي الحرارة [14]. إذا لم يكن هناك تبادل الحرارة بين أجزاء مختلفة من الجسم، يسمى تشوه ثابت الحرارة، وتسمى معاملات المرونة ثابتة الحرارة [13] G_{ad} ، K_{ad} ، E_{ad} و ν_{ad} .

العلاقات بين ثابت الحرارة ومتساوي الحرارة معاملات المرئية هي [13]:

$$(6. II) \quad 1/K_{ad} = 1/K - T\alpha^2/C_p$$

$$G_{ad} = G$$

$$(7. II) \quad E_{ad} = \frac{E}{1 - E T \alpha^2 / 9C_p}$$

$$(8. II) \quad v_{ad} = \frac{v + E T \alpha^2 / 9 C_p}{1 - E T \alpha^2 / 9 C_p}$$

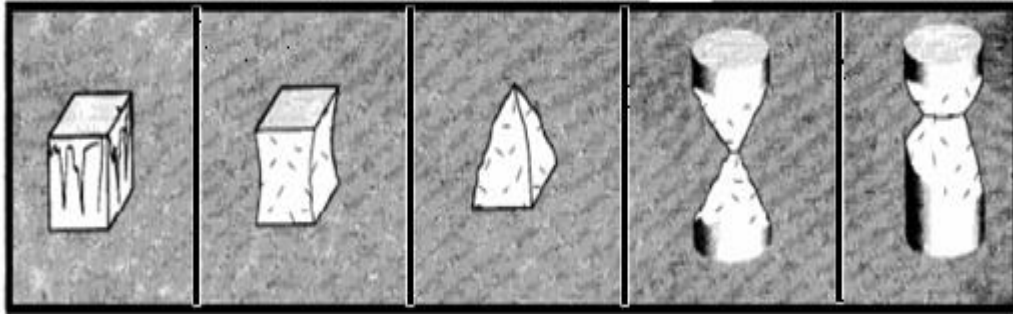
حيث α هو معامل التمدد الحراري للجسم الصلب. هذا هو تأثير ديباي- Grüneisen التمدد الحراري على الثوابت المرنة للحالة المعزولة.

4. II. الاختبارات الميكانيكية

إن الهدف من كل اختبار هو ضمان أداء عمل المواد و الأجزاء بالطريقة المتوقعة منها لهذا الغرض هنالك بصورة أساسية نوعان من الفحوصات الميكانيكية هما الاختبار الاتلافي و الاختبار اللاتلافي [16]:

1. 4. II. الاختبار الاتلافي

هو الفحص الذي يتلف القطع الاختبارية خلال إجراء عملية الاختبار الذي يفقد الاستفادة من المادة بعد إجرائها، و لهذا سمي بالاختبار الاتلافي و كمثل على ذلك اختبار الشد و اختبار الانضغاط و اختبار الالتواء و الانحناء و الصلادة [17].



الشكل (1. II): يوضح الاختبارات الاتلافية

2. 4. II. الاختبار اللاتلافي

هو الاصطلاح الذي يطلق على كل الطرائق الممكنة لفحص المواد و الأجزاء دون إتلافها أو التأثير على العمل الذي صممت من أجله أو على عمرها في ما بعد، و تعتبر الاختبارات اللاتلافية واحدة من أهم الوسائل للكشف و التحقق من جودة المواد [17].

و من بين الاختبارات اللااتلافية الفحص البصري، الجسيمات المغناطيسية و التصوير الإشعاعي، و من أهم الطرائق في الاختبار هي تقنية الأمواج فوق الصوتية.

1.2.4.ii. اختبارات الأمواج فوق الصوتية (Ultrasonic Testing)

إن استخدام الموجات الصوتية عالية التردد، و هو ما يعرف باسم الموجات فوق الصوتية، يعد من أهم التقنيات المطبقة اليوم لاختبار سماكة المواد و الكشف عن العيوب المادية العميقة.

و تعمل الاختبارات فوق الصوتية بالطريقة نفسها التي تعمل بها الرادارات، أي النبضات و الصدى خلال فترات زمنية قصيرة، تنتقل ذبذبات ميكانيكية إلى المادة المختبرة، أي قطعة الاختبار و تنتقل الذبذبات عالية التردد عبر المادة في حزمة ضيقة إلى أن تصل إلى الطرف الثاني من قطعة الاختبار

و في حال صادفت الموجة فوق صوتية عيبا في المادة، فإنها ستنعكس بحيث تعيد الإشارة إلى المصدر و هنا علينا قياس الفترة الزمنية إذا ما أردنا أن نحسب دقة عمق العيب تحل قطعة الاختبار. و تستخدم الترددات العالية لان الترددات الصوتية لا تحقق النتيجة المرجوة، حيث أن الموجة الصوتية تجتاز العيوب الصغيرة [17].

حيث يتولى مولد النبضات إصدار نبضات عالية الترددات، و تتحول النبضات الكهربائية من قبل المحول (transducer) إلى ترددات مقابلة و التي تنتقل إلى قطعة الاختبار.

يتلقى المحول إشارة الصدى ليحولها إلى المستقبل المضخم لمعالجة الإشارة و تصل مخرجات المستقبل إلى الشاشة في شكل صورة تفسر ما حدث، و يتم وصل الساعة أيضا مع الشاشة لإعطاء عنصر الوقت الذي له أهمية في تفسير الإشارة.

5.11. الطرق التجريبية لتعيين المعاملات المرئية للزجاج

1.5.11. طريقة الأمواج فوق الصوتية

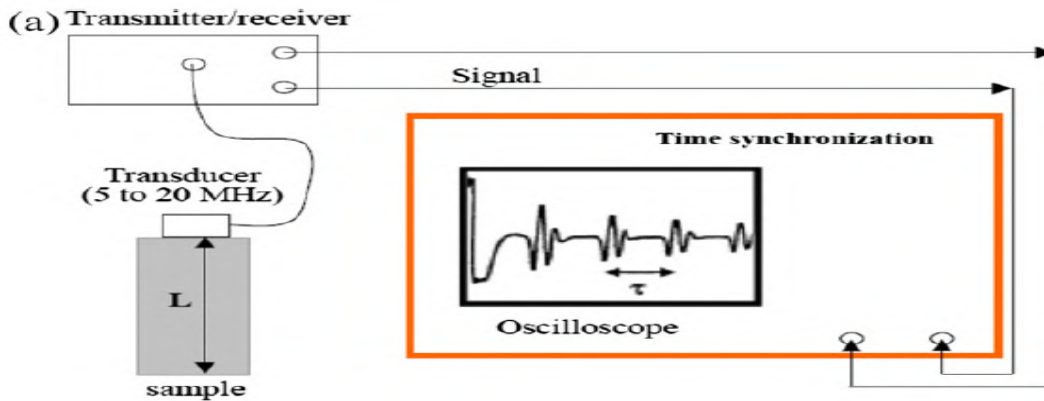
يتم تعيين معاملات المرنة بطريقة الأمواج فوق الصوتية هيكلها وخصائصها. ويمكن قياس الثوابت المرئية بالعديد من الطرق مثل: طريقة التشوه الميكانيكية أو طريقة انتشار الأمواج فوق الصوتية بالنسبة للسوائل، ويمكن الحصول على الثوابت المرنة من قياسات سرعة الموجات فوق الصوتية عالية التردد.

تنقسم طرق تحديد المعاملات المرئية في المواد الصلبة إلى طرق ثابتة وديناميكية، يمكن اعتبار في الطرق الثابتة والمرئية ثابت الحرارة و متساوي الحرارة هي شروط القياس على التوالي.

في حين الشروط التحريية تؤثر تأثيرا كبيرا على دقة قياس المعاملات المرئية والطرق الثابتة هي أيضا من الصعب تطبيقها على المواد الهشة مثل المواد الزجاجية [13].

الطرق الديناميكية لديها درجة عالية من الدقة النسبية وفقا لتطبيق مجموعة من الترددات وتصنف على النحو التالي:

الطريقة الصوتية و طريقة الأمواج فوق الصوتية ويمكن تطبيق هذه الطرق على نطاق واسع لدراسة الخصائص المرئية للزجاج و السوائل المكونة للزجاج لذلك نركز على طريقة واحدة من الطرق الديناميكية و هي طريقة الأمواج فوق الصوتية.



الشكل (4.11): الرسوم التوضيحية التخطيطية لطريقة الموجات فوق الصوتية [13].

1.1.5.11. نظرية القياس بالموجات فوق الصوتية

سرعة انتشار الموجات فوق الصوتية مثل الموجات الطولية، والقصبة تعتمد على طبيعة المواد. ومع ذلك، في مادة معينة، سرعة انتشار الموجات فوق الصوتية

موجة مستقلة عن تردداتها والبعد من المواد. في المواد الصلبة متجانسة الخواص

مثل المواد زجاجية، يتم التعبير عن معادلات الموجة الصوتية كما يلي |13|:

$$(9. II) \quad \frac{d^2u}{dt^2} = \frac{Ld^2u}{\rho dX^2} \quad \text{الوضع الطولي}$$

$$(10. II) \quad \frac{d^2u}{dt^2} = \frac{Gd^2u}{\rho dX^2} \quad \text{الوضع العرضي}$$

أين u هو النزوح، L هو المعامل الطولي. من المعادلات أعلاه، نحصل على |13|:

$$(11. II) \quad L = \rho v_L^2$$

$$(12. II) \quad G = \rho v_s^3$$

v_L و v_s هي السرعات الصوتية الطولية والعرضية، على التوالي ويمكن تعميم تقريبا أن v_s هي نصف

v_L في المواد المعدنية متجانسة، وهذا هو $v_L = 2v_s$. ويمكننا التعبير

عن المعادلات E ، K ، و U من المواد الصلبة آيزوتروبية مثل الزجاجيات يمكن إعطاؤها في الشروط v_L و v_s والكثافة كما يلي |13|:

$$(13. II) \quad K = \rho \left(v_L^2 - \frac{4}{3} v_s^2 \right) \quad \bullet \text{ المعامل الجسمي}$$

$$(14. II) \quad \nu = \frac{(v_L^2 - 2v_s^2)}{2(v_L^2 - v_s^2)} \quad \bullet \text{ نسبة بواسون}$$

$$(15. II) \quad E = \rho v_s^2 \frac{(3v_L^2 - 4v_s^2)}{v_L^2 - v_s^2} \quad \bullet \text{ معامل يونغ}$$

• درجة حرارة ديبياي Debye temperature

درجة حرارة ديبياي هي معيار مهم في المواد الصلبة، يتم التعبير عن ذلك لوصف خصائص الاهتزازات الذرية الناتجة عن ذلك [14].

درجة حرارة ديبياي θ_D للمواد الصلبة آيزوتروبية يمكن أيضا حسابها من السرعات الصوتية والكثافة. للطول الموجي مثلا لموجات فوق الصوتية، يمكن اعتبار الزجاج الصلب سلسلة مرنة كلاسيكية التي تجتمع تقريبا ديبياي. باستخدام البيانات الصوتية، θ_D في درجة حرارة الغرفة يمكن أن تكون ممثلة على النحو [13]:

$$(16. II) \quad \theta_D = \frac{h}{K} \left(\frac{9N_A \rho}{4\pi M} \right)^{1/3} v_m$$

$$(17. II) \quad v_m = \left(\frac{2}{v_s^2} + \frac{1}{v_L^2} \right)^{1/2} \text{ حيث}$$

h ثابت بولتزمان، K : ثابت بلانك

ولذلك، فان سرعات الموجات فوق الصوتية وقياسات الكثافة، تمكن الحصول بسهولة على المعاملات المرورية، ودرجة حرارة ديبياي من الزجاجيات المعدنية.

6.11. خلاصة

في هذا الفصل قمنا بإعطاء المفهوم الأساسي لنظرية المرونة ووصف الخصائص المرورية من المواد الصلبة، كما رأينا أنهم الاختبارات الميكانيكية و الهدف من كل اختبار و أثره على المواد و الأجزاء.

قمنا بدراسة أهم المعاملات المرورية للزجاج، المتمثلة في معامل يونغ، نسبة بواسون و درجة حرارة ديباي، و أهم الطرق التجريبية لتعيين هذه المعاملات، و قمنا بالتركيز على طريقة الأمواج فوق الصوتية، التي تعتبر من الطرق التجريبية اللااتلافية، و من أهم التقنيات المطبقة لاختبار المواد و الكشف عن العيوب.

و سندرس في الفصل القادم المفاهيم الأساسية لمطيافية العناصر الترايبية النادرة، و كذلك خصائص المواد المضيفة لهذه الايونات.

الفصل الثالث

دراسة مطيافية أيونات العناصر

الترابية النادرة

1.1.1. مقدمة

في هذا الفصل نقدم أيونات العناصر الترابية النادرة و بنيتها الالكترونية، و كذلك أصل مستويات الطاقة لهذه العناصر في الوسط الصلب، و سوف نرى آليات مختلفة من التفاعلات التي قد تحدث بين هذه الايونات و الإشعاع الكهرومغناطيسي، و وصف الخصائص الطيفية لهذه الايونات. و تستخدم ايونات العناصر الترابية النادرة كوسط فعال في العديد من المواد المضيفة الصلبة نظرا للتحويلات الإشعاعية في المجال المرئي و الأشعة تحت الحمراء، فللوجاج يصبح نشطا عندما يطعم بكميات صغيرة من أيونات العناصر الترابية النادرة، هذه الأيونات لديها العديد من التحويلات الضوئية، على مدى واسع من الأطوال الموجية، إذ يمكن للمواد المضيفة التي يتم وضعها مع الايونات النشطة أن تغير خصائص هذه الايونات، و سوف نتطرق إلى دراسة خصائص الزجاج المطعم بهذه الايونات

2.1.1. العناصر الترابية النادرة

في الجدول الدوري للعناصر مندليف، هناك العديد من العائلات بما في ذلك اللانثينيدات التي ستخص بالدراسة و عرفت أيضا باسم العناصر الترابية النادرة و العناصر الانتقالية.

اللانثينيدات سميت نسبة لعنصر اللانثانيوم L_a و تتكون من 15 عنصر ترابي نادر تبدأ من عنصر اللانثانيوم ($Z=57$) في الجدول الدوري إلى عنصر اللوتسيوم ($Z=71$).

و يكون التوزيع الالكتروني للعناصر الترابية النادرة من الشكل $|Xe|=4f^n 5d^0 6s^2$

حيث n يتراوح بين 0 لللانثانيوم إلى 14 للتيسيوم |20| .

Rare Earth Elements

| | | | | | | | | | | | | | | | | | |
|----|----|-------|-------------|----|----|----|----|----|----|----|----|----|----|----|----|----|----|
| H | | | | | | | | | | | | | | | | | He |
| Li | Be | | | | | | | | | | | B | C | N | O | F | Ne |
| Na | Mg | | | | | | | | | | | Al | Si | P | S | Cl | Ar |
| K | Ca | Sc | Ti | V | Cr | Mn | Fe | Co | Ni | Cu | Zn | Ga | Ge | As | Se | Br | Kr |
| Rb | Sr | Y | Zr | Nb | Mo | Tc | Ru | Rh | Pd | Ag | Cd | In | Sn | Sb | Te | I | Xe |
| Cs | Ba | La-Lu | Hf | Ta | W | Re | Os | Ir | Pt | Au | Hg | Tl | Pb | Bi | Po | At | Rn |
| Fr | Ra | Ac-Lr | Rf | Db | Sg | Bh | Hs | Mt | | | | | | | | | |
| | | | Lanthanides | | | | | | | | | | | | | | |
| | | | La | Ce | Pr | Nd | Pm | Sm | Eu | Gd | Tb | Dy | Ho | Er | Tm | Yb | Lu |
| | | | Actinides | | | | | | | | | | | | | | |
| | | | Ac | Th | Pa | U | Np | Pu | Am | Cm | Bk | Cf | Es | Fm | Md | No | Lr |

الشكل (1.III): موقع العناصر الترابية في الجدول الدوري [33].

تتكون العناصر الترابية النادرة من سلسلة من العناصر تتميز بملئ المدار f في حين المدارات الخارجية d و p تكون فارغة بكونها نشطة كيميائياً. و تكون هذه العناصر متشابهة كيميائياً و هذا راجع للطبقة $4f$. مداراتها الفرعية السبعة التي تتسع الى 14 إلكترون، و إمكانية انتقال الإلكترونات فيها.

في الحالة الأيونية تكون العناصر الترابية ثنائية التكافؤ أو ثلاثية التكافؤ. فبالنسبة لثنائية التكافؤ تنتج من فقدان الذرة لإلكترونين للطبقة $6s$ ، أما ثلاثية التكافؤ فتكون بالإضافة إلى فقدان الذرة لإلكترونين للطبقة $6s$ ، تفقد إلكترون $5d$ إذا كان ممكن، و إذا كان ليس ممكن فستفقد من إلكترونات الطبقة $4f$ ، و تعتبر الحاق ثلاثية التكافؤ أكثر استقراراً لهذه الأيونات.

الجدول (1.III): التشكيل الإلكتروني للهولميوم Ho.

| Z | العنصر | التوزيع الذري | ثنائي التكافؤ Ho^{+3} | ثلاثي التكافؤ Ho^{+3} |
|----|--------------|-----------------------|-------------------------|-------------------------|
| 57 | الهولميوم Ho | $[Xe]4f^{14}5d^06s^2$ | $[Xe]4f^{14}5d^0$ | $[Xe]4f^{14}$ |

3. III. مطيافية أيونات العناصر الترابية النادرة

1.3. III. الأعداد الكمية

توجد أربعة أعداد كمية مهمة تميز الذرة و هي العدد الكمي الرئيسي (n) يبين مستوى الطاقة الذي يتواجد فيه الإلكترون و يأخذ القيم التالية $n=1,2,3,\dots$ ، العدد الكمي اللفي (s) يدل على وجود حركة مغزلية للإلكترون ويمكن أن يأخذ القيم $1/2$ أو $-1/2$ ، العزم الزاوي المداري (l) و يأخذ القيم $l=0,1,2,3,\dots;n-1$ ، العدد الكمي المغناطيسي (m)، يحدد تصرف المستويات الطاقية في وجود حقل مغناطيسي و يأخذ القيم $m=0,\pm 1,\pm 2,\dots,\pm l$ [22].

2.3. III. الرموز الطيفية

يمكن الحصول على توضع مستويات الطاقة من قياس الامتصاص و الانبعاث ، كما يمكن الحصول عليها عن طريق الحساب. و يمكن التعرف على جميع مستويات الطاقة لأيونات العناصر الترابية النادرة من معرفة التكوين الإلكتروني ووصف كل إلكترون من هذه الايونات و الطبقة التي ينتمي إليها.

تتميز كل ذرة بطاقتها و العزم الزاوي لها، و ذلك فان الطاقات التي يمكن أن تتخذها الذرات تعتمد على اتجاه العزم الزاوي للذرة [23].

لتحديد أنماط مستويات الطاقة من التكوين الإلكتروني فمن الضروري جمع العزم الزاوي المداري و العزم اللفي للإلكترون لتشكيل العزم الزاوي الكلي و ذلك للحصول على ما يسمى راسيل- سوندر (Russel-saunders) أو الثنائي ($L - S$) و يعرف الترميز الطيفي $^{2S+1}L_J$

S: العزم الزاوي اللفي الكلي

L: العزم الزاوي المداري الكلي

$$L = S, P, D, F, G, H, I$$

$$L = 0, 1, 2, 3, 4, 5, 6, \dots \quad \text{و توافق القيم}$$

J: العزم الزاوي الكلي

من اجل تحديد شكل الكتروني معين للمستوي الأساسي حسب مبدأ الاستبعاد لبولي و بتطبيق قاعدة هوند و ذلك:

- القيمة العظمى لـ **S**

- القيمة العظمى لـ **L**

حيث: $J = J_{\min} = |L - S|$: للطبقة المملوءة أقل من نصف

$J = J_{\max} = |L + S|$: للطبقة المملوءة أكبر من نصف.

III. 3.3. مستويات الطاقة

تجيز كل أيون تراي نادرة بحطط طاقة. ولتحديد وضع مستويات الطاقة له، فمن الضروري حل معادلة شرودنغر:

$$(1. III)$$

$$H\psi = E \cdot \psi$$

حيث ψ : دالة الموجة المرتبطة بالذرة، H : هاملتون التفاعل، E : طاقة المستوى من اجل الايولت الحرة

و N الإلكترونات، والنواة شحنتها (Ze) و بفرض أن كتلتها لانهائية، نستطيع كتابة هاملتون للأيون الحر H_0 على الشكل

التالي:

(2. I)

• H_c : هاملتون التشكيل في تقريب "الحقل المركزي"، ويمثل مجموع الطاقة الحركية الممكنة للإلكترونات حول النواة. ويسمح

بالحصول على وضع طاقة التشكيلات الإلكترونية.

$$(3. III) \quad H_c = \sum_i \left(-\frac{\hbar^2}{2m_e} \nabla_i^2 - \frac{Ze^2}{r_i} \right)$$

• H_{el} : يعبر عن تفاعل كولومب بين الإلكترونات في الطبقة (تتافر الإلكترونات فيما بينها)، هذا التفاعل يرفع التطابق في

المستويات الإلكترونية $4F$ ، من خلال الرموز الطيفية L^{2S+1} ، وهي تدل على المسافة بين الإلكترونات i و j :

$$(4. III) \quad H_{el} = e^2 \sum_{i>j}^N \frac{1}{|\vec{r}_i - \vec{r}_j|}$$

• H_{SO} : يمثل التفاعل بين اللف الذاتي والعزم الزاوي المداري لكل إلكترون (ازدواج سبين- مدار)، يعطي رفع التطابق

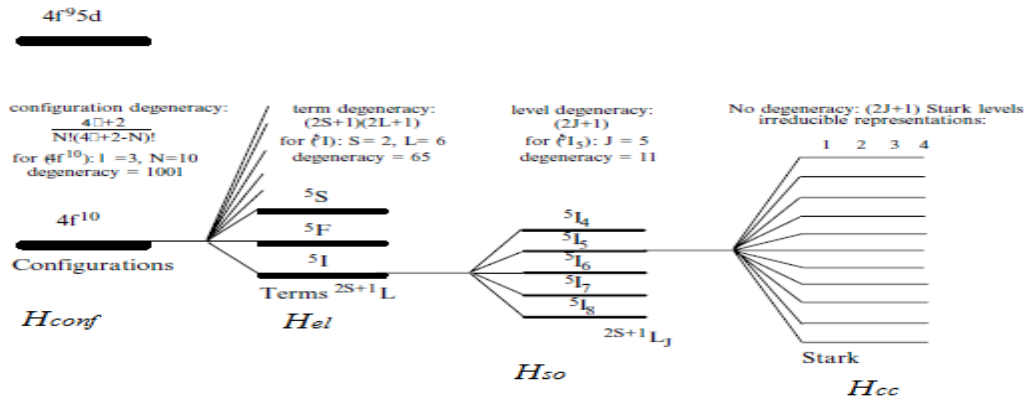
للمستويات الثانوية من خلال الرمز الطيفي L^{2S+1} ويحددها العدد الكمي J ، وذلك بـ $|L+S| \leq J \leq |L-S|$ وتعطى

: [23][21]

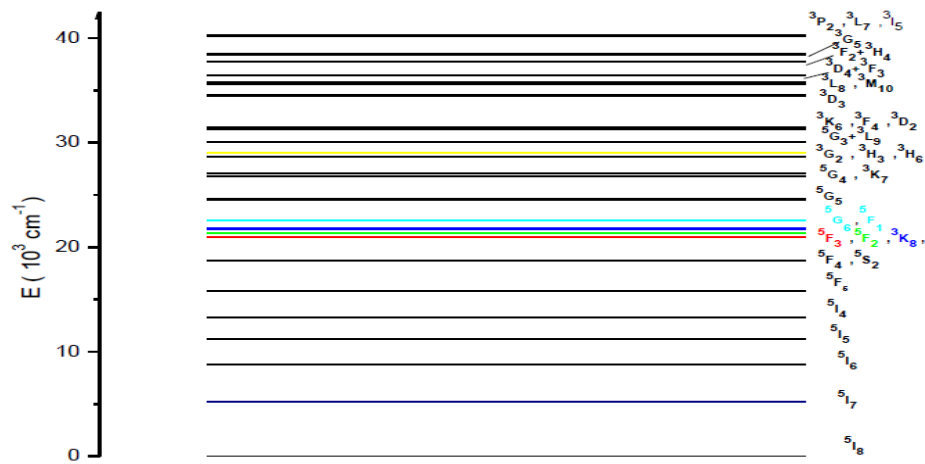
$$(5. III) \quad H_{so} = \lambda_i \sum_i s_i l_i$$

λ_i : معاملات الازدواج سبين- مدار

يتم إدخال هاملتون H_{SO} و H_{el} في نظرية الاضطراب. ويطبق هذا في حالة العناصر الترابية النادرة.



الشكل (2.III): مخطط يوضح رفع التطابق لمستويات الطاقة لايون الهولميوم Ho^{+3} [33].



الشكل (2.III): مخطط لمستويات الطاقة لايون الترابي النادر Ho^{+3} [33].

III. 4.3. قواعد الانتقاء

تفاعل الأيونات الترابية النادرة في المادة المضيفة مع الإشعاع الكهرومغناطيسي، قد تؤدي إلى الانتقال بين مستويات الطاقة،

تحكم هذه الانتقالات قواعد الانتقاء، تفاعل الإلكترونات الترابية النادرة مع الحقل البلوري يؤدي إلى نوعين من

الانتقالات [23]:

• التفاعلات ثنائي القطب الكهرومغناطيسي.

• التفاعلات ثنائي القطب المغناطيسي.

انتقالات ثنائي القطب الكهربائي عندما تكون مسموحة تكون أكثر شدة. وتحكمها "قواعد لابورت [21]. « règles de Laporte »

Laporte »

(6.III)

هذه القواعد تدل على أن انتقالات ثنائي القطب الكهربائي بين المستويات التي لها نفس التكافؤ ممنوعة، هذا يمنع كل

الانتقالات داخل التشكيلات في الطبقة 4f.

انتقالات ثنائي القطب المغناطيسي هي أقل بكثير من كثافة انتقالات ثنائي القطب الكهربائي، وهي أيضا انتقالات مسموحة

بين المستويات من نفس التكافؤ، بشرط القواعد التالية:

(7.III)

في مادة زجاجية، يمكننا أن نلاحظ جميع الانتقالات [24].

4.III. تفاعل الإشعاع مع أيونات العناصر الترابية النادرة

1.4.III. آليات إشعاعية

تفاعل أيونات العناصر الترابية النادرة مع الإشعاع الكهرومغناطيسي يؤدي إلى الانتقال بين مستويات الطاقة المختلفة

للأيونات، وفقا لعدة آليات، و بعض الآليات هي أصل عملية التضخيم [25].

أ) الامتصاص

هو عملية محرزة بواسطة الحقل الكهرومغناطيسي، يتم انتقال ذرة من المستوى E_1 إلى المستوى E_2 و ذلك برفع

الالكترونات من مدارات منخفضة الطاقة إلى مدارات عالية الطاقة. يمكن أن تكون هذه العملية بطريقتين مختلفتين، إما اعتمادا

على تغير شدة الإشعاع خلال الانتشار، أو تغير عدد الأيونات المثارة في الزمن [25].

في كلتا الحالتين يتم إدخال المقطع الفعال للامتصاص σ_a و هو معامل التناسب بين احتمال امتصاص الفوتون لعدد الايونات في وحدة الحجم، وتعطى عبارته كالتالي [26]:

$$(8. III) \quad \sigma_a = \frac{2,3 DO}{N_0 x} = \frac{\alpha}{N_0}$$

حيث DO هي الكثافة الضوئية وتعطى:

(9. III)

إذا ما أخذنا بالاعتبار نظام فيزيائي بسيط لتصادم مرن بين الايونات و الفوتونات، تنخفض شدة الشعاع أثناء انتشارها في المادة بفعل الامتصاص:

$$(10. III) \quad \frac{dI(z)}{dz} = -\sigma_a I(z) N_1$$

على افتراض وجود احتمال انخفاض الامتصاص، يكون الإسكان في مستوي الإثارة E_2 ضئيل جدا مقارنة مع التركيز الكلي للايونات أي $N_1 \approx N_0$. في ظل هذه الظروف، وبعد تكامل المعادلة السابقة فان الشدة المتبقية من شعاع الليزر خلال عينة سمكها x هي:

$$(11. III) \quad I(x) = I_0 e^{-\sigma_a N x}$$

حيث $a = \sigma_a N$ يعبر عن معامل الامتصاص cm^{-1} ، ويمكن أن يفسر على أنه احتمال امتصاص لكل وحدة طول

تغير الإسكان في مستوي E_2 مع مرور الزمن يحدد احتمال إثارة في وحدة الزمن W_{12} :

$$(12. III) \quad \frac{dN_2(dt)}{dt} = \sigma_a D N_2(dt) = W_{12} N_2(dt)$$

حيث D هو تدفق الفوتون في وحدة الحجم

عدد الفوتونات التي تمر عبر المقطع الفعال في الثانية هي:

(13. III)

$$D = \frac{I}{h\nu}$$

حيث h ثابت بولتزمان و ν التردد.

احتمال انتقال يمكن أن يعرف أيضا باستخدام معامل اينشتاين $B_{12}(\text{m}^3 \cdot \text{s}^{-2} \cdot \text{J}^{-1})$:

(14. III)

$$W_{12}(\nu) = B_{12} \rho(\nu)$$

حيث $\rho(\nu)$ هي كثافة لكل وحدة مساحة للشعاع الساقط ($\text{J} \cdot \text{s} \cdot \text{m}^{-3}$)

ب) الانبعاث التلقائي

هو عملية فقدان الطاقة من المادة بشكل تلقائي على شكل ضوء أو حرارة أو حركة بدون تأثير خارجي. حيث لا تبقى

الايونات في حالة إثارة بل تعود بصورة تلقائية إلى حالتها الطاقية الدنيا، مما يؤدي إلى فقدان تلك الطاقة الزائدة في شكل

انبعاث فوتونسي. و هذا ما يسمى بظاهرة الانبعاث التلقائي و ذلك بانتقال الايونات من المستوى E_2 إلى E_1 .

يسمى متوسط عمر الذي تبقى فيه الايونات في الحالة المثارة بمدة الحياة (بالثانية s) الحالة المثارة، و هي عبارة عن الكمية

الإحصائية التي يتم تعريفها كالتالي [27][31]:

(15. III)

$$\tau = \frac{1}{N_0} \sum_{i=1}^{N_0} t_i$$

حيث N_0 عدد الايونات في الحالة المثارة في اللحظة $t=0$

و يعرف احتمال الانبعاث التلقائي لوحدة الزمن بمعامل اينشتاين A_{21} ، و يمكن التعبير عن ذلك بالمعادلة التالية:

(16. III)

$$\frac{dN_2}{dt} = -A_{21} N_2$$

حيث يمثل $\frac{dN_2}{dt}$ معدل الانبعاث التلقائي و A_{21} احتمالية الانبعاث التلقائي

(17. III) $N_2 = N_2 e^{-A_{21}t}$ حيث في الحالة

البسيطة (نظام من مستويين)، تعرف مدة الحياة الإشعاعية التي يتم التعبير عنها بـ _____:

(18. III) $\tau_{rad} = \frac{1}{A_{21}}$

τ_{rad} : مدة حياة الإشعاع في الحالة المثارة

(ج) الانبعاث المحثوث (المحرض)

هو الأساس لعمل الليزر و خلال هذه العملية يقوم فوتون ذو طاقة $h\nu$ بتحريض الذرة على الانتقال من المستوي الأعلى E_2

إلى المستوي الأسفل E_1 هذا يصحب بانبعث فوتون له نفس خصائص الفوتون المحرض. و يمكن التعبير عن احتمال حدوث

عملية الانبعاث المحفز باستخدام معامل اينشتاين B_{21} [27]:

(19. III) $W_{21}(\nu) = B_{21}\rho(\nu)$

تغير نسبة الإسكان في مستوى الحالة المثارة N_2 أكبر منه في مستوي الحالة الأساسية يعني ذلك ان هناك تعداد معكوس

للإسكان و يمكن تحقيق ذلك باستعمال قوة محفزة خارجية:

(20. III) $\frac{dN_2}{dt} = -B_{21} \rho(\nu)N_2$

و يعرف المقطع الفعال للانبعاث σ_e :

(21. III) $\frac{dN_2}{dt} = -W_{21}N_2 = -\frac{\sigma_e I_p}{h\nu} N_2$

حيث I_p هي شدة الشعاع الساقط (W/cm^2) من اجل نظام ذو مستويين تكون الإثارة الإشعاعية:

(22. III) $\frac{dN_2}{dt} = W_{12}N_1 - (W_{21} + A_{21})N_2 = -\frac{dN_1}{dt}$

في حالة توازن حراري، ترتبط نسبة الإسكان لمستويين بمعامل بولتزمان:

$$(23. III) \quad \frac{N_2}{N_1} = \frac{g_2}{g_1} e^{-\frac{h\nu}{kT}}$$

حيث $g_{l=2J+1}$ هو التوالد في مستوي الطاقة E_l ، T هي درجة الحرارة و k ثابت بولتزمان. في حالة N_i ثابتة أي

$dN_1/dt=0$ يكون لدينا:

$$(24. III) \quad \frac{N_2}{N_1} = \frac{W_{12}}{W_{21} + A_{21}} = \frac{g_2}{g_1} e^{-\frac{h\nu}{kT}}$$

من هذه العلاقة يمكن التعبير عن ρ_ν كثافة الطاقة للحزمة في وحدة مساحة كالتالي:

$$(25. III) \quad \rho(\nu) = \frac{A_{21}}{B_{21}} \frac{1}{\left(\frac{B_{12} g_1}{B_{21} g_2} e^{\frac{h\nu}{kT}} - 1\right)}$$

وفقا لقانون بلانك، لدينا:

$$(26. III) \quad \rho(\nu) = \frac{8\pi n^3 \nu^2}{c^3} \frac{h\nu}{e^{\frac{h\nu}{kT}} - 1}$$

بالمطابقة بين طرفي المعادلتين نجد:

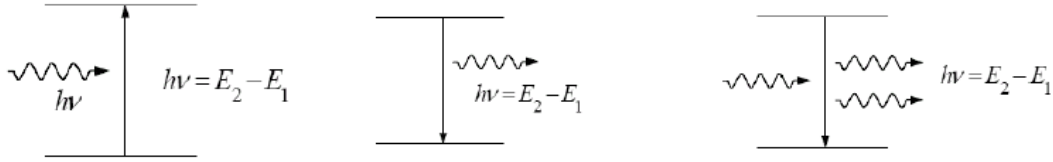
$$(27. III) \quad g_1 B_{21} = g_2 B_{12}$$

$$(28. III) \quad \frac{A_{21}}{B_{21}} = \frac{8\pi n^3 h\nu^3}{c^3}$$

امتصاص

انبعاث تلقائي

انبعاث محثوث



الشكل (3.III): يوضح آليات تفاعل الإشعاع مع المادة [31].

2.4.III. الآليات غير إشعاعية

في بعض الأحيان تعود الذرة إلى المستوي الأساسي دون أن تشع موجات كهرومغناطيسية، و ذلك من خلال تشتيت الطاقة إلى الشبكة و خلق فونون، و يسمى التحول بالتحول غير إشعاعي.

التحولات غير الإشعاعية هي أكثر حساسية لطبيعة المواد من التحولات الإشعاعية، في كثير من الحالات فان طاقة الانتقالات الإلكترونية بين الحالة المثارة والحالة الأساسية أعلى بكثير من طاقة الفونونات، وبالتالي فإِنَّ الاسترخاء غير الإشعاعي بواسطة الفونونات هو إذا عملية متعددة الفونونات (multiphonon) [28].

احتمال حدوث الاسترخاء متعدد الفونونات يتعلق بالفرق الطاقي بين مستويات الانتقال كما تلخصها المعادلة التالية [21]:

$$(29. III) \quad W_{MP} = W_0 [n(\nu) + 1]^P$$

P: هو عدد الفونونات اللازمة لملء فجوة الطاقة بين المستويات، و W_0 هو احتمال الانتقال عند $0^\circ K$ بحيث:

$$(30. III) \quad W_0 = B e^{-a\Delta E}$$

ΔE : هو فرق الطاقة بين المهنتويات الانتقالية، a (cm) و B (s^{-1}) ثابت موجبة مميزة للشبكة. و $n(\nu)$ هو عدد بوز "

Bose" حيث:

$$(31. III) \quad n(\nu) = \frac{1}{\frac{h\nu}{e^{kT}} - 1}$$

احتمال الانتقال غير الإشعاعي يزيد بارتفاع درجة الحرارة و بالتالي يؤدي إلى انخفاض في مدة الحياة الإشعاعية، و خلال

الاسترخاء فان الطاقة الزائدة هي اكثر اهمية من الطاقة القصوى للفونون في المادة، فهناك تحولات تشمل فونون واحد او عدة كمات اهتزاز و تسمى بالتحولات الاهتزازية، و بشكل عام فان تأثير هذه التفاعلات تؤدي الى تغيير الاسكان في المستويات، اذ يمكن كتابة هذا التغيير بسبب الانتقالات الغير مشعة بالصيغة التالية [30]:

$$(32. III) \quad \frac{dN_2}{dt} = -\frac{N_2}{\tau_{nr}}$$

حيث: τ_{nr} ثابت زمني مميز يعبر عن مدة الحياة الغير مشعة وتعطى عبارتها كالتالي:

$$(33. III) \quad \tau_{nr} = \frac{1}{W_{nr}}$$

و في الأخير فان التحولات غير الإشعاعية لها أثار ايجابية و أخرى سلبية لأنها تسمح بتجميع أو إخلاء مستوى معين و لذلك فإنها يمكن أن تزيد أو تقلل من كفاءة الانتقال تعطى حسب الحاجة.

في حالة الليزر فانه من المفيد جدا محاولة التقليل من عدم الانتقال الإشعاعي للانبعاث المطلوب و ربما تعزيز بعض التحولات الأخرى مفيدة لتسوية سريعة للمستوي الثاني المسؤول عن انبعاث الليزر.

5.III. المردودية الكمية

عند الأخذ بعين الاعتبار الآليات الإشعاعية وغير الإشعاعية، و التغيرات في مستوى المثار الثاني لنظام ذو مستويين يمكن أن يكتب:

(34. III)

$N_2(t)$ تعبر تغير أسي بدلالة الزمن كالتالي:

$$(35. III) \quad N_2(t) = N_2(0) \exp\left(-t/\tau_{mes}\right)$$

يتم تعريف المردودية الكمية على أنها النسبة بين عدد الفوتونات المنبعثة إلى عدد الفرات المثارة في المستوى المثار. و تعطى [21]:

$$(36. III) \quad \eta = \frac{\tau_{mes}}{\tau_{rad}}$$

6.III. المادة المضيفة للعناصر الترابية النادرة

يمكن تصنيف المواد المضيفة للعناصر الترابية النادرة إلى مجموعتين رئيسيتين: زجاجية ومواد صلبة بلورية. يجب أن يكون للمضيف خصائص بصرية وميكانيكية وحرارية جيدة لمقاومة ظروف عملية التطعيم وأيضاً علينا الأخذ بعين الاعتبار حجم ذرات الأيونات النشطة، وخصائصها الطيفية، بطريقة مثالية تتوافق مع أيونات المادة المضيفة، ومقارنة الفرق بين مستويات الطاقة للأيونات النشطة، و التردد الأقصى لاهتزاز الشبكة للمادة المضيفة (فونون)، إن إضافة الأيونات النشطة بكميات كبيرة قد يؤثر على خصائص المادة المضيفة، لذا فإن إضافتها لمواد الصلبة البلورية، أو الزجاجية، تكون بكميات صغيرة جداً لتفادي تلك التأثيرات الجانبية [21].

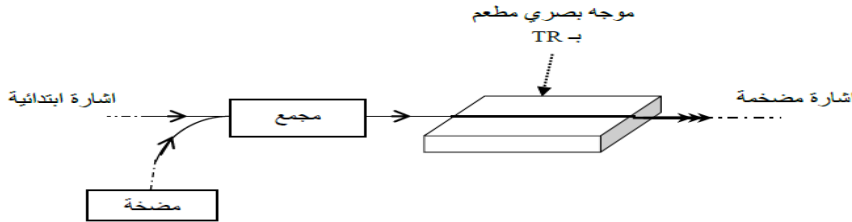
7.III. ذوبانية العناصر الترابية النادرة

يجب استخدام التضخيم العالي في فترة قصيرة في مضخم ضوئي متكامل حيث يجب أن يتحقق على نسبة تطعيم عالية من الأيونات النشطة، هذا يعني أن الأيونات لا يمكن دمجها في المادة المضيفة بطريقة عشوائية ولكن يجب أن تكون قابلة للذوبان في المرحلة الصلبة، بنية الزجاج تسهل إدراج التعديلات فيها، تفاعلات أيون-أيون والتفاعلات أيون-المادة تحدث تأثيرات على الخصائص الطيفية للأيونات الترابية النادرة مثل المقاطع الفعالة، شكل خطوط الامتصاص والانبعاث، مدة حياة، عند درجة الحرارة الانتقال الزجاجي، تنتج الاهتزازات في الشبكة الزجاجية، فمن المهم معرفة طاقة الفونون للمواد المضيفة لهذه الأيونات [29].

8.1.3. التضخيم الضوئي و الليزر

1.8.1.3. التضخيم الضوئي

المضخم الضوئي يسمح بتضخيم الإشارة الضوئية باستخدام مبدأ الانبعاث المغر للإشعاع، المكونات الأساسية لجهاز التضخيم الضوئي هي: موجة بصري مطعم بأبولت العناصر الترابية النادرة، ومضخة، التي تعقن في الموجة البصري بواسطة مجمع، والليف البصري، وينتج عنها انعكاس سكاني لإلكترونات أيونات العناصر الترابية النادرة، ومنه يكون عدد الفوتونات التي تخرج من الموجة البصري أكبر من تلك التي أدخلت إليه، الشكل (4.III)، لهذا فإنه من الضروري أن تكون بنية مستويات الطاقة تسمح بحدوث انعكاس سكاني [30].



الشكل (4.III): رسم تخطيطي لمبدأ المضخم الضوئي

2.8.1.3. الليزر LASER

بالانجليزية Light Amplification by Stimulated Emission Of Radiation

و تعني تضخيم الضوء بانبعث الإشعاع المحفز و هو عبارة عن حزمة ضوئية ذات فوتونات تشترك في ترددتها و تتطابق موجاتها بحيث تحدث ظاهرة التداخل البناء بين موجاتها لتتحول الى نبضة ضوئية ذات طاقة عالية. و هو مصدر لتوليد الضوء و له خصائص مميزة لا توجد في الضوء الذي تصدره بقية مصادر الضوئية الاخرى، قدم أول جهاز من هذا النوع في عام 1960 م من قبل العالم الأمريكي تيودور ميمان T.Maiman في الحالة

الصلبة من ثلاثة عناصر أساسية [27]:

• وسط التضخيم

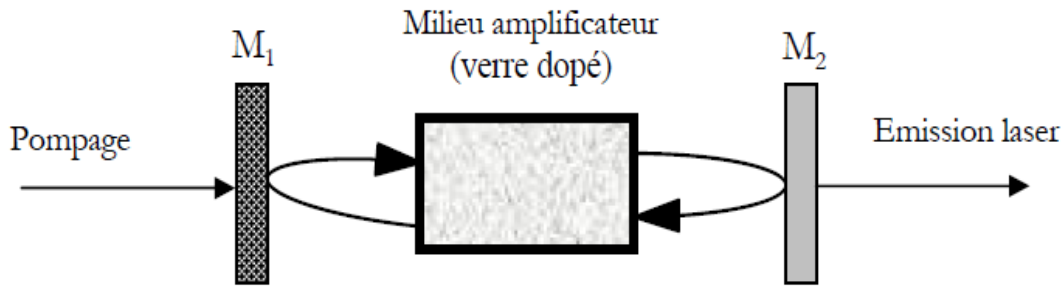
• **مصدر الضوء:** يسمح الضخ الضوئي بالتضخيم في وسط نشط و الذي يقع بين المستويين الأدنى و الأعلى حيث

تبدأ الإلكترونات بالتراكم في هذا المستوى لينتج انعكاس سكاني [25].

• **المرنان:** هو منظومة مكونة من مرآتين على محور بصري مشترك حيث تنتقل فوتونات الليزر بين المرآتين ذهابا و

إيابا من اجل تضخيمها، تكون إحدى هاتين المرآتين ذات انعكاسية تامة و المرآة الأخرى تكون ذات انعكاسية

جزئية [31].



الشكل (5.III): مبدأ عمل جهاز الليزر [25]

1.2.8.III. التوزيع العكوس

يتطلب انبعاث أشعة الليزر العمل على زيادة عدد الذرات في مستويات الطاقة العليا اي زيادة تعدادها عن الحالة الطبيعية أي

يكون $N_2 > N_1$ ، و لكي يحدث التوزيع المعكوس يتطلب اثاره الذرات عن طريق ضخ الوسط المادي بطاقة تحت الذرات

الارتفاع من المستوي الأدنى N_1 إلى المستوي الأعلى N_2 [32].

2.2.8.III. الربح

في ذرة ذات مستويين N_1 و N_2 و في وجود موجات كهرومغناطيسية ، توزيعها الطيفي يتركز على الانتقال بين المستويين

N_1 و N_2 ، فان تغير الشدة الضوئية بدلالة اتجاه الانتشار تعطى بالمعادلة التالية [21]:

$$(37. III) \quad \frac{dI_v}{dZ} = (\sigma_{21}N_2 - \sigma_{12}N_1 - a)I$$

استعملنا هذا التقريب الذي يعتبر أن كثافة التوزيع المعكوس للإسكان $(\sigma_{21} N_2 - \sigma_{12} N_1)$ تكون ثابتة في وسط التضخيم . و بمكاملة المعادلة السابقة نحصل :

$$(38. III) \quad I_\nu(z) = I_\nu(0) \exp[(\gamma(\nu) - a)z]$$

حيث $\gamma(\nu) = (\sigma_{21} N_2 - \sigma_{12} N_1)$ هو معامل الربح.

إذا كانت: $\sigma_{12} = \sigma_{21} = \sigma_0$ ، نجد العبارة البسيطة التالية:

$$(39. III) \quad \gamma(\nu) = \sigma_0 \Delta N$$

$$\Delta N = N_2 - N_1 \quad \text{حيث}$$

و منه فان تعرف الربح هو النسبة بين شدة الإضاءة الناتجة عند خروج شعاع الليزر على شدة الإضاءة عند دخول الشعاع للوسط و تعطى:

$$(40. III) \quad G = \frac{I_\nu(l)}{I_\nu(0)}$$

L: طول العينة التي يجتاها الضوء

بما أن الضوء الوارد لا يكون موزع بانتظام داخل الوسط المضخم و كذلك توزيع ايونات النشطة ليس منتظم فاننا يمكننا ادخال عامل الحجز Γ و يتم التعبير عن الربح بواسطة المعادلة التالية:

(41. III)

و بالتالي من اجل زيادة الربح لابد من زيادة معامل الربح γ ، و التقليل من الضياعات α ، و هناك ملاحظة و هي انه يمكن الحصول على نفس الربح عن طريق تركيز مرتفع او عن طريق طول كبير للمضخم [25].

و يعطى ربح (decibels) بالعلاقة التالية:

$$(42. III) \quad G_{dB} = 10 \log_{10}(G)$$

و منه فان الربح هو:

$$(43. III) \quad G_{dB} = 4.34[(\Gamma\gamma(v) - a)L]$$

III.2.8.3. آلية الضخ

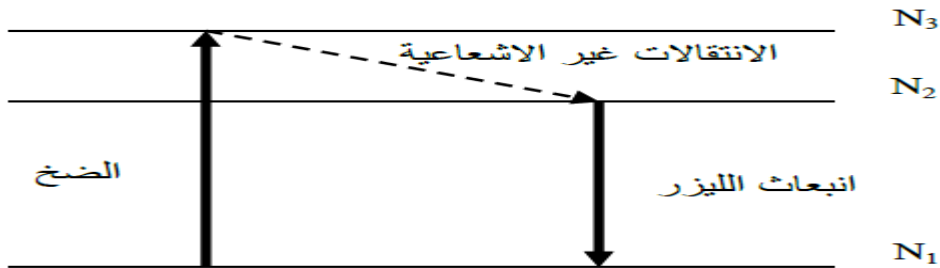
هناك نوعان من المنظومات الضخ التي تستخدم في توليد الليزر هما:

➤ نظام المستويات الثلاثة

يتكون من ثلاثة مستويات طاقة، المستوى الأرضي الذي يمثل المستوى الليزري السفلي و المستوى المثييج الذي يمثل المستوى الليزري العلوي و المستوى شبه المستقر أو الوسطي.

المستوي الأرضي هو نفسه المستوى الليزري السفلي، يجب ضخ نصف عدد الذرات أو الجزيئات من المستوى الأرضي إلى المستوى العلوي للحصول على التوزيع المعكوس، لذلك نحتاج إلى طاقة ضخ عالية جدا.

المستوي شبه المستقر لا يتم اختياره لعملية التوزيع المعكوس لانه لا يستطيع خزن عدد كبير من الذرات أو الجزيئات المثييجة مثل المستوى الليزري العلوي [31].

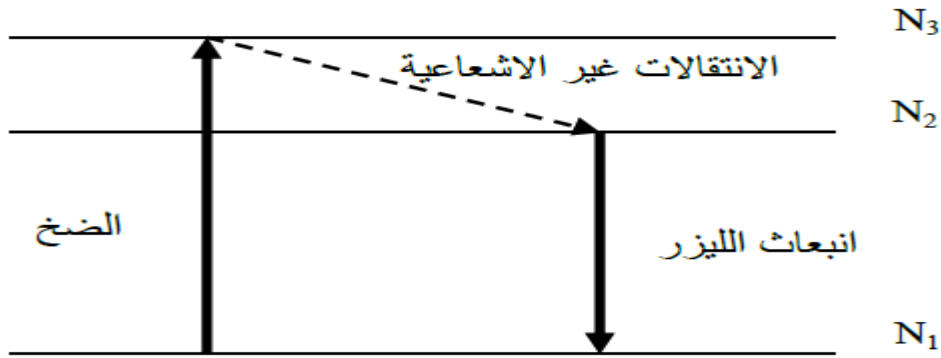


الشكل (III.5): نظام ذو ثلاث مستويات طاقة [21].

➤ نظام المستويات الرباعية

يتكون من أربع مستويات طاقة، المستوى الأرضي و المستوى الليزري السفلي و المستوى المثييج و المستوى الليزري العلوي.

المستوي الأرضي هو ليس نفسه المستوي الليزري السفلي، في هذا النظام تتأثر الذرات بالضخ بطريقة ما من المستوي الأساسي إلى مستوي الطاقة الرابع، و منه فان الدورة الليزرية لأربعة مستويات تشبه الدورة الليزرية لثلاثة مستويات و يكمن الاختلاف في الخطوة التالية و ذلك لان الانتقال الليزري المحفز في الليزر بأربعة مستويات، لا يتم فيه انتقال الذرات مباشرة إلى المستوي الأساسي بل تنتقل إلى المستوي الوسطى (2) يكون هذا المستوي فارغا، مما يتطلب ضخاً طاقياً شديداً لجعل عدد الذرات في المستوي الثاني أكبر من المستوي الأساسي [31][32].



الشكل (6.III): نظام ذو اربع مستويات طاقية [21].

الفصل الرابع

تحديد الخصائص المرورية و

NaPO₃ الوسائط الطيفية للزجاج 79

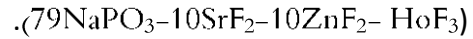
- 10 SrF₂ - 10ZnF₂ - HoF₃

1.IV. مقدمة

لا تزال البحوث جارية للبحث عن أفضل المواد المضيفة للعناصر الترابية النادرة و تحديد الوسائط الطيفية (المقاطع الفعالة للامتصاص و الانبعاث، مدة الحياة الإشعاعية....الخ)، و ذلك لأن هذه الوسائط مهمة جدا في تطوير المركبات الضوئية الفعالة.

و يعد الزجاج مرشحا جيدا لهذه التطبيقات بفضل خصائصه المميزة كقابليته للتشكيل في قطع كبيرة و تجانسه الضوئي بالإضافة إلى انخفاض تكلفته، و نجد أن البحوث و الدراسات الطيفية لا تزال قائمة حول الزجاج الهالوجينو-فوسفاتي المطعم بالعناصر الترابية النادرة نظرا لأهميته في تطبيقات الليزر و المضخمات الضوئية.

في هذا الفصل سنقوم بتحديد الوسائط المرونية و الطيفية للزجاج الهالوجينو-فوسفاتي المطعم بالهولميوم³⁺ HO³⁺ ذي الصيغة



IV. 2. تركيبة الزجاج المدروس

العينة المدروسة عبارة عن زجاج هالوجينو-فوسفاتي مطعم بالهولميوم، تركيبته المولية (mol%) تُعطى بالصيغة التالية:
 $79\text{NaPO}_3-10\text{SrF}_2-10\text{ZnF}_2- \text{HoF}_3$ و سنرمز له اختصارا بـ : NPSZH1، نسبة التطعيم بأيون الهولميوم (HO³⁺) هي 1 % بتوكيز قيمته $=1.649 \times 10^{20} \text{ ion/cm}^3 \text{N}_0$ وقرينة انكساره $n=1.496$ ، و كتلته الحجمية 2.803 g/cm^3 ، و سلك العينة المدروسة من هذا الزجاج 0.5 cm ، الجدول (2.IV) يوضح الكتل المولية و النسب المئوية لمركب الزجاج المدروس.

الجدول (2.IV): يوضح الكتل المولية و المعامل المولي للمركب NPSZH1

| المركب | NaPO ₃ | SrF ₂ | ZnF ₂ | HoF ₃ | NPSZH1 |
|-----------------------|-------------------|------------------|------------------|------------------|---------|
| الكتلة المولية g/mol | 101,962 | 125,617 | 103,376 | 221,926 | 552,881 |
| المعامل المولي (100%) | 79 | 10 | 10 | 1 | 10 |



الشكل (1.IV): العينة المدروسة

IV. 3. تعيين الخصائص المرورية للعينة المدروسة:

تمّ حساب مختلف معاملات المرونة للعينة انطلاقاً من نتائج القياس بواسطة تقنية الأمواج فوق الصوتية، مبدأ هذه الطريقة يستند على قياس سرعتي انتشار الصوت الطولية V_L والعرضية V_S لموجة فوق صوتية داخل العينة المدروسة، وبمعرفة سمك العينة وكتلتها الحجمية يمكن حساب المعاملات المرورية (الطريقة مشروحة في الفصل الثاني).

الجدول (1.IV): يعطي المعاملات المرورية

| المرجع | θ_D (K) | ν | E (GPa) | K(GPa) | G (GPa) | L (GPa) | العينة |
|--------------|----------------|-------|---------|--------|---------|---------|-----------------------|
| العمل الحالي | 204,794 | 0,281 | 43,283 | 32,923 | 16,895 | 55,450 | الزجاج الحالي |
| [13] | - | 0.211 | 67.2 | 38.8 | 27.7 | - | زجاج النوافذ |
| [13] | - | 0.24 | 61.9 | 40.5 | 24.9 | - | زجاج SiO ₂ |
| [13] | - | 0.195 | 83.6 | 45.7 | 35.0 | - | Borosilicate |
| [18] | - | 0.276 | 34.347 | 25.619 | 13.453 | 43.557 | أكسيد SKWP الأنتيموان |

الخصائص المرورية مهمة جداً لمعرفة ما إذا كان الزجاج مناسب لتطبيق معين و هي محددة من اجل وصف بنّي الزجاج كدالة في المكونات، والمعاملات المرورية تتعلّق بالموقع والاتجاه الذي تقاس فيه، ومن أهمها معامل يونغ الذي يتعلّق بالبنية وبالروابط بين الذرات، إذ كلما كانت قيمته كبيرة كلما كان هذا مؤشر على صلابة المادة، بالنسبة للعمل الحالي، وجدنا أنّ قيمة معامل يونغ أكبر من قيمته في زجاج أكسيد الأنتيموان وأقل من زجاج SiO₂ على سبيل المثال، مما يدل على أنّ صلابة العينة المدروسة تكون أقل من صلابة زجاج السيليس الذي يتمتع بصلابة عالية تترجمها قيمة معامل يونغ المرتفعة، وأكبر من صلابة

زجاج الأنتيموان الذي يتمتع بصلابة أقل نظرا لتواجد بعض الأكاسيد القاعدية في مكوناته مثل : K_2O و Na_2O و

Li_2O [18]

درجة حرارة ديباي هي معامل مهم جدا من اجل الأجسام الصلبة و هي تمثل درجة الحرارة التي تكون تقريبا عندها كل

الأنماط الاهتزازية ماثرة، في عملنا الحالي وجدنا أن قيمتها تكون مساوية لـ: $204,794 K$

4.IV. تعيين الخصائص الطيفية للعينه المدروسة:

1.4.IV. طيف الامتصاص:

يمكن حساب المقطع ال فعال للامتصاص عند أطوال موجية مختلفة انطلاقا من طيف الامتصاص . هذا الطيف يتم قياسه

باستخدام مطياف مزدوج الحزمة. وذلك بإرسال شعاع من الضوء الأبيض الى موحد اللون ($\text{spectrophotomètre à doubles faisceaux}$)، فيتم فصلها إلى شعاعين بشدة متساوية: حزمة وارده شدتها $I_0(\lambda)$ ، وحزمة تمر من خلال عينة

شدتها $I(\lambda)$ ، الكثافة الضوئية DO تعطى [21]:

$$(1.IV) \quad DO = \log \left(\frac{I_0(\lambda)}{I(\lambda)} \right)$$

شدة الضوء الممتصة تعتمد على معامل الامتصاص α وسمك المواد التي يجتازها الشعاع dl :

$$(2.IV) \quad \frac{dI}{I} = -\alpha \cdot dl \quad \Rightarrow \quad I = I_0 \exp(-\alpha \cdot l)$$

معامل الامتصاص α بـ cm^{-1} ، ويعبر عنه بدلالة الكثافة الضوئية DO وفقا للعلاقة التالية [20]:

$$(3.IV) \quad \alpha = \frac{\ln 10}{x} \cdot DO$$

ونستنتج المقطع الفعال للامتصاص [26]:

$$(4.IV) \quad \sigma_a(\lambda) = \frac{\alpha(\lambda)}{N_0} = \frac{2,3.DO}{N_0 \cdot x}$$

حيث N_0 : تركيز الايونات المسؤولة عن الامتصاص، و x : سمك العينة

2.4.IV. نظرية جود-أوفلت Judd-Ofelt

نظرية جود-أوفلت "Judd-Ofelt" (1962)، صرح بتحديد الوسائط الطيفية للزجاج المطعم بالعناصر الترابية النادرة، مثل

احتمالية الانتقال الإشعاعي بينمستويي طاقة، مدة حياة الحالة المثارة، وتعتمد هذه النظرية على دراسة عصابات الامتصاص

للأيون الترابي النادر، من أجل تحديد قوى الاهتزاز لثنائي القطب الكهربائية (DE)، أو ثنائي القطب المغناطيسي

(MD)، للانتقالين المستويين، هذه القوى يتم تحديدها تجريبيا من طيف الامتصاص، وتعتمد هذه النظرية على قواعد الانتقاء:

في حالة انتقالات ثنائي القطب الكهربائي، الانتقالات المسموح هي [21]:

$$\begin{aligned} \Delta L &= \pm 1 & \Delta S &= 0 \\ \Delta J &\leq 2l & \Delta L &\leq 2l \end{aligned}$$

في حين انتقالات ثنائي القطب المغناطيسي تحدد:

$$\Delta L = 0 \quad \Delta S = 0 \quad \Delta J = 0, \pm 1$$

2.4.IV.1. قوى الانتقال و قوى الاهتزاز

قوة الانتقال بين عنصري ستارك يرمز لها ب $S(J, J')$ ، يعرف بأنه عنصر المصفوفة لمربع مؤثر الانتقال لثنائي القطب

الكهربائي (DE) أو ثنائي القطب المغناطيسي (MD):

$$(5.IV) \quad S_{ed}(J, J') = \left| \langle J | DE | J' \rangle \right|^2$$

$$(6.IV) \quad S_{md}(J, J') = \left| \langle J | DM | J' \rangle \right|^2$$

قوى الانتقال بين مستويين هي مجموع القوى الانتقالية بين مستويات ستارك

$$(7.IV) \quad S_{ed,md}(J, J') = \sum S_{ed,md}(J, J')$$

القوى الاهتزاز تعرف [24]:

$$(8.IV) \quad f(J, J') = \frac{8\pi^2 m_e c}{3h(2J+1)n^2 \lambda} [\chi_{ed} S_{ed}(J, J') + \chi_{md} S_{md}(J, J')]$$

حيث $\chi_{md} = n^3$ و $\chi_{ed} = \frac{n(n^2+2)^2}{9}$ هما التصحيحين للحقل المحلي حول الأيونات الترابية النادرة، m هي كتلة الإلكترون،

c هي سرعة الضوء في الفراغ و n هي قرينة الانكسار في الوسط، h ثابت بلانك و λ الطول الموجي لوسط الانتقال.

22..4.IV. حساب قوى الانتقال

في حالة الانتقالات ثنائي القطب المغناطيسي، قوى الانتقال S_{md} وقوى الاهتزاز f_{md} لا تعتمد على المدة المضيفة، بل تعتمد فقط على الأيون الترابي النادر، وتعرف قوة الانتقال التحريبي S_{md} بالعلاقة التالية [21]:

$$(9.IV) \quad S_{md} = \left(\frac{h^2}{4\pi m_e c} \right) |\langle J \| L + 2S \| J' \rangle|^2$$

: $|\langle J \| L + 2S \| J' \rangle|$ مؤثر عنصر المصفوفة، ويتعلق فقط بأبولت الترابية النادرة والانتقال $|J' \rangle \rightarrow |J \rangle$ ولدينا [21]:

$$(10.IV) \quad J = J' : \begin{cases} |\langle J \| L + 2S \| J' \rangle| = g \hbar [J(J+1)(2J+1)]^{\frac{1}{2}} \\ g = 1 + \left\{ \frac{[J(J+1) + S(S+1) - L(L+1)]}{2J(J+1)} \right\} \end{cases}$$

$$(11.IV) \quad J = J - 1 : |\langle J \| L + 2S \| J - 1 \rangle| = \hbar \left\{ \frac{[(S+L+J+1)(S+L+1-J)(J+S-L)(J+L-S)]}{4J} \right\}^{\frac{1}{2}}$$

$$(12.IV) \quad J = J + 1 : |\langle J \| L + 2S \| J + 1 \rangle| = \hbar \left\{ \frac{[(S+L+J+2)(S+J+1-L)(L+J-S)(S+L-J)]}{4(J+1)} \right\}^{\frac{1}{2}}$$

وفقا لنظرية جود-أوفلت، قوى الانتقال لثنائي القطب الكهربائي بين مستويين $|J' \rangle$ و $|J \rangle$ تعطى عن طريق المعادلة [21]:

$$(13.IV) \quad S_{ed}^{calc} = e^2 \sum_{k=2,4,6} \Omega_k \left| \langle J' | U^{(k)} | J \rangle \right|^2$$

Ω_k هي معاملات تعكس تأثير المادة المضيفة على احتمالية الانتقالات الإشعاعية، وهي معروفة تحت اسم وسائط ج ود-أوفلت "Judd-Ofelt"، $U^{(k)}$ تمثل قيم المصفوفة لمكونات المؤثر التانسوري بالمختزل (l'opérateur tensoriel réduit)، وهي قيم وثيقة مستقلة عن المادة المضيفة وتعلق فقط بعنصر التطعيم [34].

2.4.IV.3 قوى الاهتزاز التجريبية:

قوى الاهتزاز التجريبية F_{mes} و تحدد باستخدام طيف الامتصاص معامل الامتصاص $\alpha(\lambda)$ في الطول الموجي λ لوفقا للمعادلة [21]:

$$(14.IV) \quad f_{mes} = \frac{m_e c^2}{\pi e^2 N} \int \frac{\alpha(\lambda) d\lambda}{\lambda^2}$$

حيث:

$$(15.IV) \quad f_{mes} = f_{ed}^{mes} + f_{md}^{mes}$$

وايضا:

$$(16.IV) \quad f_{ed}^{mes}(J, J') = \frac{m_e c^2}{\pi e^2 N} \int_{J \rightarrow J'} \frac{\alpha(\lambda) d\lambda}{\lambda^2} - f_{md}^{mes}$$

ويكون لدينا:

$$(17.IV) \quad S_{ed}^{mes}(J, J') = \frac{9n}{(n^2 + 2)^2} \left[\frac{3hc(2J+1)}{8\pi^3 e^2 N} \int_{J \rightarrow J'} \frac{\alpha(\lambda) d\lambda}{\lambda^2} - S_{md}^{mes} \right]$$

في هذا العمل، استندنا الى نظرية جود اوفلت باستعمال برنامج الماتلاب الذي يحسب قيم Ω_K ، و مختلف المعايير الطيفية،

احتمالية الانتقال الاشعاعية، مدة الحياة و المقاطع الفعالة

5.IV.المراحل المختلفة للحساب:

نضع:

$$S_{ed} = \begin{pmatrix} S_{ed1} \\ \cdot \\ \cdot \\ S_{edi} \\ \cdot \\ \cdot \\ S_{edq} \end{pmatrix} ; \quad f_{ed} = \begin{pmatrix} f_{ed1} \\ \cdot \\ \cdot \\ f_{edi} \\ \cdot \\ \cdot \\ f_{edq} \end{pmatrix} ; \quad \Omega = \begin{pmatrix} \Omega_2 \\ \Omega_4 \\ \Omega_6 \end{pmatrix}$$

$$A = \begin{pmatrix} \langle \|U^{(2)}\|_1 \rangle^2 & \langle \|U^{(4)}\|_1 \rangle^2 & \langle \|U^{(6)}\|_1 \rangle^2 \\ \cdot & \cdot & \cdot \\ \cdot & \cdot & \cdot \\ \langle \|U^{(2)}\|_i \rangle^2 & \langle \|U^{(4)}\|_i \rangle^2 & \langle \|U^{(6)}\|_i \rangle^2 \\ \cdot & \cdot & \cdot \\ \cdot & \cdot & \cdot \\ \langle \|U^{(2)}\|_q \rangle^2 & \langle \|U^{(4)}\|_q \rangle^2 & \langle \|U^{(6)}\|_q \rangle^2 \end{pmatrix}$$

حيث $1, \dots, i, \dots, q$ تمثل الانتقال.

$$C = \begin{pmatrix} C_1 & 0 & \cdot & \cdot & \cdot & \cdot & 0 \\ 0 & \cdot & \cdot & \cdot & \cdot & \cdot & \cdot \\ \cdot & \cdot & \cdot & 0 & \cdot & \cdot & \cdot \\ \cdot & \cdot & 0 & C_i & 0 & \cdot & \cdot \\ \cdot & \cdot & \cdot & 0 & \cdot & \cdot & \cdot \\ \cdot & \cdot & \cdot & \cdot & \cdot & \cdot & 0 \\ 0 & \cdot & \cdot & \cdot & \cdot & 0 & C_q \end{pmatrix} = \xi \times \begin{pmatrix} \lambda_1^{-1} & 0 & \cdot & \cdot & \cdot & \cdot & 0 \\ 0 & \cdot & \cdot & \cdot & \cdot & \cdot & \cdot \\ \cdot & \cdot & \cdot & 0 & \cdot & \cdot & \cdot \\ \cdot & \cdot & 0 & \lambda_i^{-1} & 0 & \cdot & \cdot \\ \cdot & \cdot & \cdot & 0 & \cdot & \cdot & \cdot \\ \cdot & \cdot & \cdot & \cdot & \cdot & \cdot & 0 \\ 0 & \cdot & \cdot & \cdot & \cdot & 0 & \lambda_q^{-1} \end{pmatrix} = \xi \times C'$$

$$\xi = \frac{8\pi^2 m_e c (n^2 + 2)^2}{27hn(2J + 1)}$$

$$f_{ed} = C \times S_{ed}$$

$$S_{ed} = A \times \Omega$$

قيم الوسائط Ω تعطى بمعادلة المصفوفة التالية

$$\Omega_S = (A^T A)^{-1} A^T S_{ed}$$

ومع:

$$f_{ed} = C \times S_{ed} \Rightarrow f_{ed} = C \times A \times \Omega = A' \times \Omega$$

$$A' = C \times A : و$$

$$\Omega_f = (A'^T A')^{-1} A'^T f_{ed} : و بالتالي$$

• جودة التعديل

تقيم مدى صحة هذا الوسائط والتي تعطى بـ q :

$$RMS = \sqrt{\frac{\sum (f_{cal} - f_{mes})^2}{q - p}}$$

حيث q هو عدد العصابات الطيفي المأخوذة بعين الاعتبار و p هو عدد مجهول في هذه الحالة p يساوي 3

• احتمالية الانتقالات الإشعاعية

وسائط جود-او فلتتتحصل عليها بالمقارنة بين قوة الاهتزاز المقاسة f_{mes} والنظرية f_{calc} ، لحساب القوة الانتقاليين

الحالتين J و J' و نستخدم المعادلة (13.IV). و احتمالية الانتقال الإشعاعي تعطى بالمعادلة

$$A_{rad}(J, J') = \frac{64\pi^4}{3h(2J+1)\lambda^3} \left[\frac{n(n^2+2)^2}{9} \right] S_{ed}$$

حيث $\frac{n(n^2+2)^2}{9}$: هو التصحيح الحقل المحلي في الحالة الاساسية J و المثارة J' ، n هي قرينة الانكسار عند الطول الموجي

لانتقال و S_{ed} هي القوة الانتقالية لثنائي القطب الكهربائي التي يعبر عنها بالمعادلة (13.IV).

• نسبة التفرع

ويمكن الحصول على نسبة التفرع من احتمالية الانتقالات الإشعاعية A_{rad} وفق المعادلة التالية:

$$\beta = \frac{A_{rad}(J, J')}{\sum_{J'} A_{rad}(J, J')}$$

• مدة الحياة الإشعاعية

مدة الحياة الاشعاعية τ_{rad} للمستوى J تعطى بالعلاقة

$$\tau_{rad}(J) = \frac{1}{\sum_{J'} A_{rad}(J, J')}$$

• المقطع الفعال التكاملي للانبعاث

يستعمل هذا المقدار بشكل خاص من اجل تحديد إمكانية حدوث مفعول الليزر في الزجاج و يعطى بالعلاقة:

$$\Sigma = \frac{\lambda^2}{8\pi c n^2} A_{rad}(J, J')$$

عندما تكون قيمة المقطع الفعال التكاملي للانبعاث قريباً أو أكبر من 10^{-20} m هذا يعني إمكانية حدوث فعل الليزر [35].

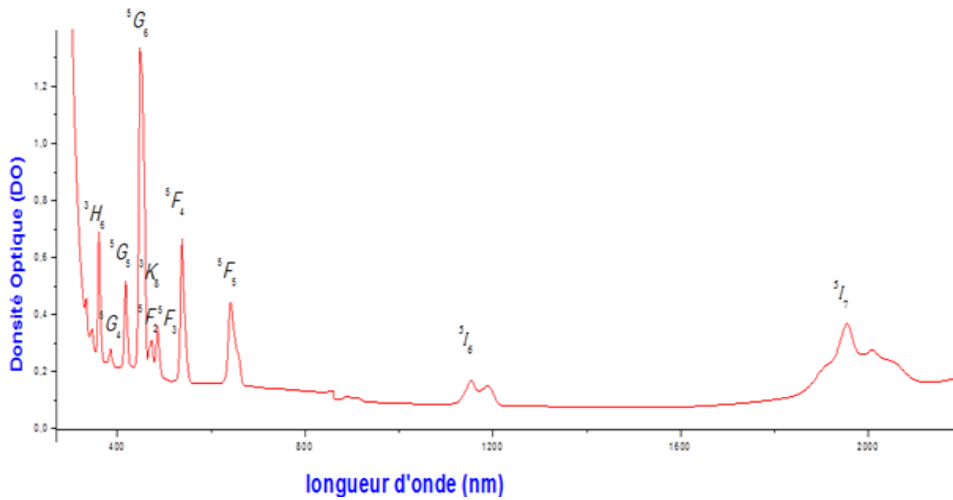
6.IV. النتائج و المناقشة

• طيف الامتصاص

طيف الامتصاص سجل عند درجة حرارة الغرفة بواسطة مطياف مزدوج الحزمة (Spectrophotomètre UV-Vis Near IR CARY 5G brand)، الذي يشتغل ما بين 200nm-3000nm، المنحني المسجل يعطي تغير الكثافة

الضوئية (DO) بدلالة الطول الموجي في مجال طيفي واسع انطلاقاً من UV (200nm) وصولاً الى ما تحت الحمراء القريبة

IR-proche (3000nm)، و بدقة طيفية قدرها 2nm.



الشكل (2.IV): طيف الامتصاص للزجاج الهالوجينو-فوسفاتي المطعم بالهوليوم HO^{+3}

من خلال الشكل (2.IV)، الذي يوضح طيف الامتصاص HO^{+3} ، نميز عشرة عصابات امتصاص، وانطلاقاً من هذا الطيف

يمكننا حساب معاملات الامتصاص و المقاطع الفعالة للامتصاص لكل انتقال، والموضحة في الجدول التالي:

الجدول (3.IV): الأطوال الموجية و التردد و معامل الامتصاص و المقاطع الفعالة للامتصاص لأيون الهولميوم HO^{+3} في الزجاج NPSZH1

| الانتقالات | الطول الموجي (λ nm) | التردد ν ($10^{14} s^{-1}$) | معامل الامتصاص α (cm^{-1}) | المقاطع الفعالة للامتصاص σ_{α} ($10^{-20} cm^2$) |
|----------------------------------|---------------------------------|--------------------------------------|--|---|
| $^5I_8 \rightarrow ^5I_7$ | 1950 | 1,5342 | 113.277 | 7.090 |
| $^5I_8 \rightarrow ^5I_6$ | 1150 | 2,5978 | 18.895 | 1.182 |
| $^5I_8 \rightarrow ^5F_5$ | 642 | 4,6696 | 21.119 | 1.321 |
| $^5I_8 \rightarrow ^5F_4$ | 538 | 5,5723 | 17.287 | 1.081 |
| $^5I_8 \rightarrow ^5F_3$ | 489 | 6,1685 | 3.957 | 2.476 |
| $^5I_8 \rightarrow ^5F_2, ^3K_8$ | 474 | 6,3246 | 1.955 | 1.223 |
| $^5I_8 \rightarrow ^5G_6$ | 448 | 6,6917 | 63.229 | 3.957 |
| $^5I_8 \rightarrow ^5G_5$ | 418 | 7,1720 | 8.940 | 5.595 |
| $^5I_8 \rightarrow ^5G_4$ | 386 | 7,7665 | 1.245 | 0.779 |
| $^5I_8 \rightarrow ^3H_6$ | 360 | 8,3275 | 11.100 | 6.947 |

• قوى الاهتزاز

من أجل الحصول على الخصائص الطيفية لأيونات HO^{+3} في الزجاج NPSZH1 نطبق نظرية جود- أوفلت، إن عصابات

الامتصاص المقاسة تكون مسيطرة عليها الانتقالات ثنائي القطب الكهربائي، في حين تكون مساهمة ثنائي القطب المغناطيسي

ضعيفة، لذا لا تؤخذ بعين الاعتبار [36]، في البداية نقوم بمكاملة كل عصابة من عصابات الامتصاص، ونحدد قوى الاهتزاز

الموافقة لكل انتقال، قوى الاهتزاز ثنائي القطب الكهربائي المقاسة لكل عصابة امتصاص معطاة في الجدول (3.IV)، تبين قيم

RMS وجود توافق جيد بين القيم التجريبية و القيم المحسوبة لقوى الاهتزاز.

الجدول(4.IV): يوضح مقارنة لقيم قوى الاهتزاز المحسوبة مع قيم قوى الاهتزاز التجريبية

| $f_{exp}(\times 10^{-6})$ | $f_{cal}(\times 10^{-6})$ | الانتقالات |
|-----------------------------|---------------------------|--|
| 1,195 | 1,310 | ${}^5I_8 \rightarrow {}^5I_7$ |
| 0,594 | 0,0960 | ${}^5I_8 \rightarrow {}^5I_6$ |
| 2,373 | 2,580 | ${}^5I_8 \rightarrow {}^5F_5$ |
| 3,366 | 2,790 | ${}^5I_8 \rightarrow {}^5F_4$ |
| 0,818 | 1,040 | ${}^5I_8 \rightarrow {}^5F_3$ |
| 0,525 | 0,650 | ${}^5I_8 \rightarrow {}^5F_2, {}^3K_8$ |
| 12,491 | 12,700 | ${}^5I_8 \rightarrow {}^5G_6$ |
| 2,3284 | 2,420 | ${}^5I_8 \rightarrow {}^5G_5$ |
| 0,353 | 0,320 | ${}^5I_8 \rightarrow {}^5G_4$ |
| 3,471 | 2,370 | ${}^5I_8 \rightarrow {}^3H_6$ |
| RMS= 0.053×10^{-6} | | |

• وسائط جود-أوفلت $\Omega_{2,4,6}$

الجدول(5.IV): يوضح قيم وسائط جود أوفلت $\Omega_{2,4,6}$ (بوحدة 10^{-20}cm^2) لبعض أنواع الزجاج المطعم بالهولميوم Ho^{+3}

| المرجع | Ω_4/Ω_6 | Ω_6 | Ω_4 | Ω_2 | الزجاج المطعم ب TR |
|--------------|---------------------|------------|------------|------------|--------------------|
| العمل الحالي | 1.310 | 1,721 | 2.260 | 3.037 | NPSZH1 |
| [39] | 0.74 | 1.70 | 1.27 | 1.65 | NPSZHY 1-0.5 |
| [38] | 1.520 | 1.746 | 2.654 | 4.280 | NPH1 |
| [38] | 1.072 | 1.312 | 1.407 | 2.442 | NPBH1 |
| [41] | 4.93 | 0.61 | 3.01 | 3.33 | الفوسفاتي |
| [42] | 1.52 | 2.50 | 3.80 | 2.10 | فليوروفسفاتي |

وسائط جود-أوفلت تكون مرتبطة بالتركيبية البنيوية للزجاج المضيف إلى حد بعيد، ويمكنها إعطاء عدة معلومات تخص الايون

الذي تمت إضافته للزجاج، هناك العديد من الدراسات التي حاولت الربط بين وسائط جود-أوفلت مع البنية المحلية للزجاج.

بصفة عامة فإن الوسيط Ω_2 مؤشر يعبر عن مدى تكافئية الرابطة بين الايون الترابي و الجوار الأقرب، وقد لوحظ أن طبيعة

الرابطة بين أيونات العناصر الترابية النادرة و ذرات المادة المضيفة تصبح أكثر تكافئية كلما انتقلنا من الزجاج الفليوري

$$\Omega_2 \approx 2 \times 10^{-20} \text{cm}^2 \text{ (أيوني)} \quad \Omega_2 \approx 5.345 \times 10^{-20} \text{cm}^2 \text{ (تكافئي)}$$

بالنسبة لايون Ho^{+3} في دراستنا هذه $\Omega_2 = 3.037 \times 10^{-20}$ ، هذا يعني ان الرابطة أكثر أيونية، وهي نتيجة تتوافق مع دراسة

سابقة لهذا النظام الزجاجي (NPSZHY 1-0.5) لكن في حالة التطعيم الثنائي هولميوم/إيتريوم [39] حيث كانت قيمة

$$\Omega_2 = 1.65 \times 10^{-20} \text{ —} \text{ مما يعني أن طبيعة الروابط في هذا النظام تكون أيونية.}$$

من جهة أخرى Ω_4 و Ω_6 تتعلقان بصلابة المادة المضيفة، مثل اللزوجة و ثابت العزل الكهربائي، وتعلقان أيضا بتأثير

الانتقالات الاهتزازية للروابط بين أيونات العناصر الترابية النادرة و الذرات المجاورة في المادة المضيفة.

اعتمادا على نظرية Jacobs-Weber [37]، فإن شدة الانبعاث لأيونات العناصر الترابية النادرة تتعلّق بالوسيطين Ω_4 و

Ω_6 ، وتسمى النسبة (Ω_4/Ω_6) بمعامل الجودة الطيفية، هذا المعامل مهم جدا للتنبؤ بمدى فعالية الانتقالات الليزرية في

المادة المعطاة، قيمة النسبة (Ω_4/Ω_6) معطاة في الجدول (5.IV)، بالاعتماد على هذه القيمة يمكن أن يكون هذا الزجاج

وسطا ليزريا جيدا.

• الوسائط الطيفية

انطلاقا من تعيين وسائط جود -أوفلت، يمكننا التنبؤ عن طريق الحساب بمختلف الخصائص الطيفية للزجاج NPSZH1

مثل: احتمالية الانتقال الإشعاعية و نسبة التفرع و مدة الحياة الإشعاعية و المقطع الفعال التكامل، قيم جميع هذه الخصائص

معطاة في الجدول (6.IV) بالإضافة إلى قوى الانتقال من المستويات المثارة إلى المستويات الأدنى.

79NaPO3 – 10 SrF2 – 10ZnF2– HoF3

من الجدول (7.IV) نلاحظ أن مدة الحياة الإشعاعية للانتقال $^5I_7 \rightarrow ^5I_8$ ($2\mu\text{m} \sim$) تكون مساوية لـ

17.439ms وقيمة المقطع الفعال التكاملي للانبعاث ، والذي هو مؤشر على حدوث مفعول الليزر ، كانت مساوية:

1.306، مما يدل على أن هذا الزجاج قد يكون مرشحاً جيداً لمفعول الليزر، لكن لا يمكن التحقق من هذا إلا تجريبياً.

الجدول(6.IV):قوى الانتقال الاحتمالية الانتقال الإشعاعية و نسبة التفرع و مدة الحياة الإشعاعية و المقطع الفعال التكاملي لأيون

HO^{+3} في الزجاج NPSZH1

| τ (ms) | Σ (10^{-20} m) | β | A_{rad} (s^{-1}) | $S_{\text{ed}}10^{-20}$ | λ (nm) | الانتقالات |
|-------------|--------------------------|---------|--------------------------------------|-------------------------|----------------|---------------------------|
| 17.439 | 1.306 | 1.000 | 57.340 | 3.000 | 1960 | $^5I_7 \rightarrow ^5I_8$ |
| 6.823 | 1.092 | 0.910 | 133.402 | 1.302 | 1175 | $^5I_6 \rightarrow ^5I_8$ |
| | 0.672 | 0.089 | 13.160 | 2.00 | 2934 | $^5I_6 \rightarrow ^5I_7$ |
| 8.143 | 0.237 | 0.403 | 49.580 | 0.183 | 899 | $^5I_5 \rightarrow ^5I_8$ |
| | 1,113 | 0.553 | 67,965 | 1,590 | 1662 | $^5I_5 \rightarrow ^5I_7$ |
| | 0.457 | 0.042 | 5.251 | 1.503 | 3831 | $^5I_5 \rightarrow ^5I_6$ |
| 11.994 | 0.025 | 0.090 | 7.570 | 0.013 | 749 | $^5I_4 \rightarrow ^5I_8$ |
| | 0.326 | 0.449 | 37.481 | 0.277 | 1211 | $^5I_4 \rightarrow ^5I_7$ |
| | 0.836 | 0.397 | 33.110 | 1.212 | 2064 | $^5I_4 \rightarrow ^5I_6$ |
| | 0.617 | 0.062 | 5.206 | 1.940 | 4472 | $^5I_4 \rightarrow ^5I_5$ |
| 0.541 | 3.510 | 0.769 | 1422.203 | 1.943 | 645 | $^5F_5 \rightarrow ^5I_8$ |
| | 1.872 | 0.184 | 341.777 | 1.544 | 961 | $^5F_5 \rightarrow ^5I_7$ |
| | 0.948 | 0.042 | 78.192 | 1.164 | 1430 | $^5F_5 \rightarrow ^5I_6$ |
| | 0.186 | 0.003 | 6.041 | 0.366 | 2282 | $^5F_5 \rightarrow ^5I_5$ |
| | 0.005 | 0.000 | 0.039 | 0.020 | 4658 | $^5F_5 \rightarrow ^5I_4$ |
| 0.498 | 1.854 | 0.534 | 1072.039 | 0.391 | 540 | $^5S_2 \rightarrow ^5I_8$ |
| | 2.422 | 0.365 | 733.685 | 0.705 | 746 | $^5S_2 \rightarrow ^5I_7$ |
| | 0.799 | 0.067 | 134.668 | 0.312 | 1000 | $^5S_2 \rightarrow ^5I_6$ |
| | 0.364 | 0.016 | 33.503 | 0.192 | 1354 | $^5S_2 \rightarrow ^5I_5$ |
| | 0.723 | 0.016 | 32.323 | 0.548 | 1942 | $^5S_2 \rightarrow ^5I_4$ |
| | 0.023 | 0.000 | 0.362 | 0.031 | 3330 | $^5S_2 \rightarrow ^5F_5$ |
| 0.293 | 4.676 | 0.806 | 2743.582 | 1.76 | 536 | $^5F_4 \rightarrow ^5I_8$ |
| | 0.972 | 0.088 | 301.037 | 0.504 | 738 | $^5F_4 \rightarrow ^5I_7$ |
| | 1.267 | 0.064 | 219.747 | 0.877 | 986 | $^5F_4 \rightarrow ^5I_6$ |
| | 1.183 | 0.033 | 113.301 | 1.102 | 1327 | $^5F_4 \rightarrow ^5I_5$ |
| | 0.376 | 0.005 | 17.802 | 0.980 | 1887 | $^5F_4 \rightarrow ^5I_4$ |
| | 0.364 | 0.001 | 6.104 | 0.812 | 3173 | $^5F_4 \rightarrow ^5F_5$ |
| | 0.0008 | 0.000 | 0.000 | 0.041 | 67656 | $^5F_4 \rightarrow ^5S_2$ |

الجدول (7.IV): يوضح مقارنة لقيم A_{rad} , β , τ , Σ للانتقال $^5I_7 \rightarrow ^5I_8$ لأيون الهولميوم Ho^{+3} في المركب

NPSZH1 مع أنواع أخرى من الزجاج

| المرجع | τ (ms) | Σ (10^{-20} m) | β | A_{rad} (s^{-1}) | نوع الزجاج |
|--------------|-------------|--------------------------|---------|------------------------|--------------|
| العمل الحالي | 17.439 | 1.306 | 1.000 | 57.340 | NPSZH1 |
| [39] | 18.500 | 1.230 | 1.000 | 54.030 | NPSZHY 1-0.5 |
| [38] | 15.720 | 1.390 | 1.000 | 63.600 | NPH1 |
| [38] | 10.550 | 2.070 | 1.000 | 94.700 | NPBH1 |

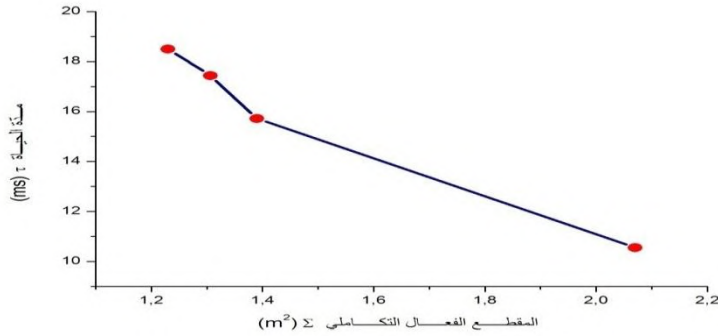
وعلى سبيل المقارنة، أوردنا في الجدول (7.IV) نتائج دراسات سابقة أجريت على عينات من الزجاج

المالوجينوفوسفاتي (كلوروفوسفاتي : NPH1, NPBH1، وفليوروفوسفاتي: عملنا الحالي و NPSZH1

(NPSZHY1-0.5) مطعم بالهولميوم (HoF_3) خاصة بالانتقال $^5I_7 \rightarrow ^5I_8$.

نلاحظ عموماً أن الزجاج الفليوروفوسفاتي يتميز بمدة حياة أعلى مقارنة مع الزجاج الكلوروفوسفاتي مصحوباً بمقطع فعال

تكاملي أقل، والشكل (3.IV) يوضح العلاقة بين مدة الحياة والمقطع الفعال بالاعتماد على نتائج الجدول (7.IV).



الشكل (3.IV): يوضح العلاقة بين مدة الحياة والمقطع الفعال التكاملي

7.IV. خلاصة

قمنا في هذا الفصل بحساب المعاملات المرورية المتمثلة في (المعامل الطولي و الحجمي، معامل يونغ، نسبة بواسون و درجة حرارة ديباي) انطلاقا من نتائج القياس بواسطة تقنية الأمواج فوق الصوتية، و كذلك الوسائط الطيفية (احتمالية الانتقال الإشعاعي، مدة الحياة،... الخ) التي تم الحصول عليها بالقياس التجريبي، و استخلصنا المقطع الفعال للامتصاص مباشرة من طيف الامتصاص، و تمكننا من حساب وسائط جود اوفلت Ω_K انطلاقا من طيف الامتصاص و استنادا الى نظرية جود اوفلت. نتائج الحساب بينت أن الوسائط المرورية والطيفية للزجاج محل الدراسة قد تجعل منه مرشحا جيدا من أجل التطبيقات الضوئية الفعالة مثل الليزر اتو المضخمات الضوئية.

الخاتمة العامة

من خلال دراستنا للوسائط المرونية و الطيفية للزجاج الهالوجينو- فوسفاتي المطعم بالهولميوم Ho^{+3} ، كخطوة أولى قمنا بدراسة الزجاج بشكل عام، الذي يعتبر مادة صلبة لا بلورية تتميزها ظاهرة الانتقال الزجاجي، و يمتلك خصائص متنوعة جدا تجعله يدخل في العديد من التطبيقات.

و قمنا ثانية بدراسة الخصائص المرونية للزجاج المطعم بايونات العناصر الترابية النادرة و انتقلنا الى دراسة الخصائص الطيفية لهذه الايونات النادرة لكونها عناصر تلعب دورا مهما في تطبيقات الليزر و المضخمات الضوئية، و ذلك أن لهذه الايونات العديد من الانتقالات الضوئية على مجال واسع من الأطوال الموجية، من الأشعة فوق البنفسجية إلى ما تحت الحمراء.

و سمحت لنا الدراسة المرونية و الطيفية للزجاج المطعم بايونات العناصر الترابية النادرة بمعرفة أن الزجاج مرشح جيد لاستضافة هذه الايونات النشطة.

و قمنا بحساب قيم مختلف المعاملات المرونية (المعامل الطولي، العرضي، معامل يونغ، نسبة بواسون و درجة حرارة ديباي)، و تطرقنا لطريقة الأمواج فوق الصوتية لحساب هذه المعاملات .

و بالاستعانة بنموذج جود أوفلت "Judd-Ofelt" لحساب مختلف الوسائط الطيفية (احتمالية الانتقال الإشعاعي و مدة الحية و المقطع الفعال للامتصاص)، تبين لنا ان هذه الوسائط لها علاقة بتركيبية الزجاج و يمكننا أن نعطينا معلومات مهمة عن الايون الذي تم إضافته للزجاج، كما تم أيضا تحديد وسائط جود أوفلت ، Ω_K التي تميز الثنائية (لمادة مضيئة- ايون التطعيم)، و من خلال تحليل النتائج وجدنا أن الوسيط Ω_2 الذي يعطي القيمة $2.260 \times 10^{-20} \text{cm}^2$ يمكننا من معرفة نوع الرابطة مما يبين أن ايون Ho^{+3} يشكل رابطة تكافؤية مع الجوار الأقرب، أما النسبة $(\Omega_4/\Omega_6 = 1.310)$ تسمى معامل الجودة الطيفية، هذا المعامل يعبر عن شدة الانبعاث لايونات العناصر الترابية النادرة و هو مهم جدا للتنبؤ بمدى فعالية الانتقالات الليزرية في المادة المعطاة، وكذلك قمنا بحساب المقطع الفعال التكاملي Σ في الزجاج محل الدراسة و هو مؤشر على مدى حدوث مفعول الليزر، لكن لا يمكن التحقق من هذا إلا تجريبيا.

و قمنا بمقارنة نتائجنا مع نتائج أخرى منشورة، فكانت القيم المتحصل عليها حد مرضية.

و من خلال النتائج المتحصل عليها تبين أن هذا الزجاج يمتلك خصائص مرونية و طيفية تسمح له بان يكون مرشحا جيدا لتطبيقات الليزر و المضخمات الضوئية.

المراجع

[1] Azzedine Ayadi, "Technologie du verre", office des publication-Universitaires, Alger, 2004.

[2] الأستاذ غوقالي مبروك و بن حميدة سفيان "كتاب مدخل إلي فيزياء الحالة الصلبة" الجزء الأول، مطبعة مزوار الجزائر.

[3] M. Hamzaou, "Verres d'oxydes lourds a base de Sb₂O₃, exploration, caractérisation physico-chimiques et application a l'amplification optique ", Thèse Doctorat, Université Mohamed Khider – Biskra 2013

[4] Claude Parent et Josik Portier, « Matériaux non-cristallins- Modèles, propriétés », université de Bordeaux.

[5] To Thi Thao, Etude par dynamique moléculaire de spectres vibrationnels de verres de silice, Thèse de doctorat, Université de Lille (2007), pp 34-43.

[6] N. EL Jouhari, Les cristaux ioniques, Université Mohammed V-Agdal, p144, (2007).

[7] F.Rehouma, "Etude de l'échange d'ions à l'argent dans un verre aluminoborosilicate: Application a un procédé d'enterrage sélectif des guide", Thèse de doctorat, Institut National de Grenoble 1994.

[8] غوقالي مبروك " نموذج ومحاكاة ظاهرة التبادل الأيوني في الزجاج السيليكاقي القلوي " مذكرة ماجستير، جامعة قاصدي مرباح ورقلة، (2005).

[9] Virginie Moizan, "Étude de l'amplification laser en bande II dans les fibres de verres chalcogénures", thèse de doctorat, Université Rennes I, 2008.

[10] Jon Rifkin, XMD - Molecular Dynamics Program, University of Connecticut, 18 Feb 2011.

[11] د. جواد كاظم الخفاجي، د. سلوى القاسم، د. محي رسول حمود، د. عماد الرجيلي، د. محمد المهداوي، الكيمياء الصناعية، جامعة بغداد، بيت الحكمة، (1988).

[12] آل آدم، كوركيس عبد، حسن علي، "تكنولوجيا و كيمياء البوليميرات"، جامعة البصرة، كلية العلوم، (1985).

- [13] W.H.Wang, "The elastic properties, elastic model and elastic perspectives of metallic glasses", Prog Mater Sci (2011) ,
- [14] H.Slimani, "Elaboration, mesure mecanique et elastique des verres", mémoire de master, université Med khider-Biskre , (2013)
- [15] H.Guezoun, "Etude physic-chimique et spectroscopique de l'ion de cobalt dans les verres", mémoire de magister, université Kasdi merbah-ouargla, (2012)
- [16] H.Jaafer, "Effects of fibers on damping behaviors of composites materials", univesty Irak of Technology, department of Applied Sciences, (2010)
- [17] د.هند مرعي، "استخدام طريقة الامواج فوق الصوتية المولدة بواسطة الليزر في الاختبارات اللااتلافية"، جامعة دمشق - سوريا، المعهد العالي للعلوم التطبيقية، (2009).
- [18] M.Baazouzi, "Elaboration et caractérisation des verres d'oxydes à indice de refraction complexe pour application dans l'optique non linéaire", Thèse de doctorat, université Med khider-Biskra , (2014)
- [19] Tanguy ROUXEL, "Designing glasses to meet specific mechanical properties", LARMAUR, FRE-CNRS 2717, Université de Rennes 1
- [20] Alombert-Goget, " Spectroscopies et modélisation de verres de silice dopés d'ions de terre rare - influence du co-dopage" ,thèse de doctorat, 2007
- [21] Bentouila Omar, "Etude de l'effet des terres rares Applications: laser et amplificateurs optique", Mémoire de magistère, Ouargla, Algérie, (2005).
- [22] J. tennyson, Astronomical Spectroscopy, Imperial College Press London,2005
- [23] Y. Jestin ، "Verres fluorés à base de fluoroindate et fluorogallate pour l'amplification optique : fibres à forte ouverture numérique, guides d'onde planaires et spectroscopie des ions de terre rare". these de doctorat. 2002.
- [24] I. Vasilief, "Guides d'onde canaux amplificateurs en verres de fluorures dopées erbium: spectroscopie et amplification optique", Thèse Doctorat, Université Claude Bernard - Lyon I, (2003).
- [25] محمد الكوسا، " فيزياء الليزر وتطبيقاتها"، جامعة دمشق، كلية العلوم، 1426هـ - 2006م
- [26] O. Peron, "Guides d'ondes planaires en verre et vitrocéramique fluorés ", thèse de doctorat, Université du Maine, (2007).

[27] د. سعود بن حميد اللحياني، "الليزر و تطبيقاته"، كلية العلوم، جامعة ام القرى، كلية العلوم التطبيقية شعبة الفيزياء الطبية.

[28] M. El Jouad. Modélisation et Spectroscopie des Vitrocéramiques Fluorées dopés par des Ions de Terres Rares pour Applications en Amplification dans l'Infrarouge. Physics. Université d'Angers, 2010. French.

[29] T. Wächtler, Conception of an integrated optical waveguide amplifier, Project report, Technische Universität Chemnitz, (2002).

[30] H. Haquin, "Verres et guides d'onde de fluorozirconates dopés Er^{+3} ou Tm^{+3} - Application a l'amplification optique-", thèse de doctorat, Université de Rennes I, (2003).

[31] عدي عطاء حمادي، "أساسيات الليزر و تقنياته"، 1425هـ-2004م

[32] صالح مصطفى الاتروشي و رياض وديع يوسف، "الليزر اسس و استخدامات"، الطبعة الاولى 1426هـ 2008م،

دار دجلة عمان.

[33] R. Fartas, "synthèse et etude spectroscopique des matériaux solides dopes aux ion de terres rares, thèse de doctorat, université Badji Mokhtar-Annaba, (2004).

[34] S. Bordais, "Etude des amplificateurs et lasers $1 \mu m$ de forte puissance à base de fibre double gaine dopée Ytterbium", Thèse Doctorat, Université de Rennes I, (2002).

[35] P. R. Watekar, S. Ju, Won-Taek Han, Optical properties of Ho-doped alumino – germano-silica glass optical fiber, Journal of Non-Crystalline Solids, vol. 354, pp 1453–1459, (2008).

[36] N. Sooraj Hussain, N. Ali, A.G. Dias, M.A. Lopes, J.D. Santos, S. Buddhudu, Absorption and emission properties of Ho⁺³ doped lead–zinc–borate glasses, Thin Solid Films, vol. 515 , pp 318– 325, (2006)

[37] R. R. Jacobs, M. J. Weber, Dependence of the $4F_3/2 \rightarrow 4I_{11/2}$ Induced-Emission Cross Section for Nd³⁺ on Glass Composition, IEEE Journal of Quantum Electronics, vol. 12, pp. 2, (1976).

[38] O. Bentouila, K. Eddine Aiadi, F. Rehouma, M. Poulain, Spectroscopic studies of rare earth-doped halogeno-phosphate glasses, Journal Of Optoelectronics And Advanced Materials, Vol. 15, pp 1204 – 1208, (2013).

[39] شقوري حياة، "الخصائص الطيفية لزجاج فليوروفوسفاتي ثنائي لتطعيم Yb^{+3}/Ho^{+3} "، مذكرة ماستر، جامعة

قاصدي مرباح ورقلة، (2014).

[40] مدخل آمنة، "دراسة طيفية لزجاج هالوجينو-فوسفاتي مطعم بالاربيوم (Er^{+3})"، مذكرة ماستر، جامعة قاصدي مرباح ورقلة، (2014).

[41] Chengguo Ming , Feng Song , Jing Hou , Yin Yu , Gong Zhang , Hua Yu ,Tongqing Sun , Jianguo Tian," Single color upconversion emission in Ho+3 / Yb+3 and Tm+3 /Ho+3 doped P2O5–MgO2–Sb2O3–MnO2–AgO glasses",Optics Communications, vol.**284**,pp 3304–3307, 2011.

[42] T. Suhasini , B.C.Jamalaiah , T.Chengaiyah , J.SureshKumar , L.Rama Moorthy, "An investigation on visible luminescence of Ho+3 activated LBTAfglasses",Physica B vol .**407**,pp,523–527, 2012.

الملحق

• قيم الثوابت المستعملة

| | |
|---|----------------------|
| $h = 6.626 \times 10^{-34} \text{ Js}$ | ثابت بلانك |
| $e = 4.8 \times 10^{-10} \text{ u.e.s}$ | شحنة الإلكترون |
| $K = 1.381 \times 10^{-23} \text{ JK}^{-1}$ | ثابت بولتزمان |
| $m_e = 9.1091 \times 10^{-31} \text{ Kg}$ | كتلة الإلكترون |
| $c = 2.998 \times 10^8 \text{ ms}^{-1}$ | سرعة الضوء في الفراغ |

• التوزيع الإلكتروني و الأيوني للعناصر الترابية النادرة ورموزها الطيفية لمستوياتها الأساسية ممثلة

في الجدول التالي:

| العدد الذري Z | العنصر | رمز العنصر | التوزيع الإلكتروني | التوزيع الأيوني | الرمز الطيفي |
|---------------|--------------|------------|---------------------------------|-----------------------|--------------|
| 57 | لانثانيوم | <i>La</i> | $[\text{Xe}] 5d^1 6s^2$ | $[\text{Xe}]$ | 1S_0 |
| 58 | سيريوم | <i>Ce</i> | $[\text{Xe}] 4f^2 5d^0 6s^2$ | $[\text{Xe}] 4f^1$ | $^2F_{5/2}$ |
| 59 | براسيوديميوم | <i>Pr</i> | $[\text{Xe}] 4f^3 5d^0 6s^2$ | $[\text{Xe}] 4f^2$ | 3H_4 |
| 60 | نيوديم | <i>Nd</i> | $[\text{Xe}] 4f^4 5d^0 6s^2$ | $[\text{Xe}] 4f^3$ | $^4I_{9/2}$ |
| 61 | بروميثيوم | <i>Pm</i> | $[\text{Xe}] 4f^5 5d^0 6s^2$ | $[\text{Xe}] 4f^4$ | 5L_4 |
| 62 | ساماريوم | <i>Sm</i> | $[\text{Xe}] 4f^6 5d^0 6s^2$ | $[\text{Xe}] 4f^5$ | $^6H_{5/2}$ |
| 63 | يوروبيوم | <i>Eu</i> | $[\text{Xe}] 4f^7 5d^0 6s^2$ | $[\text{Xe}] 4f^6$ | 7F_0 |
| 64 | جادولينيوم | <i>Gd</i> | $[\text{Xe}] 4f^7 5d^1 6s^2$ | $[\text{Xe}] 4f^7$ | $^8S_{7/2}$ |
| 65 | تربيوم | <i>Tb</i> | $[\text{Xe}] 4f^9 5d^0 6s^2$ | $[\text{Xe}] 4f^8$ | 7F_6 |
| 66 | ديسبروسيوم | <i>Dy</i> | $[\text{Xe}] 4f^{10} 5d^0 6s^2$ | $[\text{Xe}] 4f^9$ | $^6H_{15/2}$ |
| 67 | هولميوم | <i>Ho</i> | $[\text{Xe}] 4f^{11} 5d^0 6s^2$ | $[\text{Xe}] 4f^{10}$ | 5I_8 |
| 68 | إربيوم | <i>Er</i> | $[\text{Xe}] 4f^{12} 5d^0 6s^2$ | $[\text{Xe}] 4f^{11}$ | $^4I_{15/2}$ |
| 69 | ثوليوم | <i>Tm</i> | $[\text{Xe}] 4f^{13} 5d^0 6s^2$ | $[\text{Xe}] 4f^{12}$ | 3H_6 |
| 70 | إيتربيوم | <i>Yb</i> | $[\text{Xe}] 4f^{14} 5d^0 6s^2$ | $[\text{Xe}] 4f^{13}$ | $^2F_{7/2}$ |
| 71 | لوتيتيوم | <i>Lu</i> | $[\text{Xe}] 4f^{14} 5d^1 6s^2$ | $[\text{Xe}] 4f^{14}$ | 1S_0 |

• عناصر مربع مصفوفة الاختزال لأيون الهولميوم Ho^{+3} في المركب NPSZH

| SLJ | $S'L'J'$ | $\ U^2\ ^2$ | $\ U^4\ ^2$ | $\ U^6\ ^2$ | SLJ | $S'L'J'$ | $\ U^2\ ^2$ | $\ U^4\ ^2$ | $\ U^6\ ^2$ | |
|------------|------------|-------------|-------------|-------------|---------|----------|-------------|-------------|-------------|--------|
| 3I_6 | $^3H_6(4)$ | 0.2335 | 0.1299 | 0.0019 | 3F_4 | 3S_2 | 0.0001 | 0.0167 | 0.0035 | |
| | 3G_4 | 0.0000 | 0.0388 | 0.0339 | | 3F_3 | 0.2001 | 0.0919 | 0.0075 | |
| | 3G_5 | 0.0000 | 0.5257 | 0.0000 | | 3I_4 | 0.0002 | 0.0237 | 0.2585 | |
| | 3G_6 | 1.5048 | 0.8315 | 0.1397 | | 3I_5 | 0.0016 | 0.1327 | 0.4651 | |
| | $^3K_8(2)$ | 0.0206 | 0.0307 | 0.1533 | | 3I_6 | 0.0011 | 0.2576 | 0.1721 | |
| | 3F_2 | 0.0000 | 0.0000 | 0.2092 | | 3I_7 | 0.0000 | 0.1960 | 0.0322 | |
| | 3F_3 | 0.0000 | 0.0000 | 0.3465 | | 3I_8 | 0.0000 | 0.2421 | 0.7087 | |
| | 3F_4 | 0.0000 | 0.2421 | 0.7087 | | 3S_2 | 3F_3 | 0.0000 | 0.0131 | 0.0058 |
| | 3F_5 | 0.0000 | 0.4241 | 0.5698 | | | 3I_4 | 0.0015 | 0.0325 | 0.0285 |
| | 3I_6 | 0.0086 | 0.0387 | 0.6916 | | | 3I_5 | 0.0000 | 0.0057 | 0.0932 |
| | 3I_7 | 0.0250 | 0.1348 | 1.5242 | | | 3I_6 | 0.0000 | 0.0248 | 0.1421 |
| | 3G_3 | 3F_1 | 0.0000 | 0.0070 | | | 0.0566 | 3I_7 | 0.0000 | 0.0000 |
| 3G_6 | | 0.0568 | 0.2598 | 0.2500 | 3I_8 | | 0.0000 | 0.0000 | 0.2091 | |
| $^3K_8(2)$ | | 0.0000 | 0.0081 | 0.0009 | 3F_3 | 3I_4 | 0.0001 | 0.0060 | 0.0040 | |
| 3F_2 | | 0.0000 | 0.1494 | 0.0118 | | 3I_5 | 0.0068 | 0.0279 | 0.1637 | |
| 3F_3 | | 0.1868 | 0.1031 | 0.0331 | | 3I_6 | 0.0112 | 0.1242 | 0.4960 | |
| 3F_4 | | 0.2867 | 0.0236 | 0.1429 | | 3I_7 | 0.0190 | 0.3318 | 0.4346 | |
| 3S_2 | | 0.0000 | 0.1100 | 0.0006 | | 3I_8 | 0.0000 | 0.4241 | 0.5698 | |
| 3F_5 | | 0.3494 | 0.0385 | 0.1183 | | 3I_4 | 3I_5 | 0.0313 | 0.1239 | 0.9120 |
| 3I_4 | | 0.0000 | 0.0094 | 0.0421 | 3I_6 | | 0.0023 | 0.0283 | 0.6638 | |
| 3I_5 | | 0.0034 | 0.0662 | 0.0576 | 3I_7 | | 0.0000 | 0.0033 | 0.1566 | |
| 3I_6 | | 0.1329 | 0.1768 | 0.0791 | 3I_8 | | 0.0000 | 0.0000 | 0.0078 | |
| 3I_7 | | 0.5889 | 0.0273 | 0.1133 | 3F_3 | | 3I_6 | 0.0437 | 0.1702 | 0.5750 |
| 3I_8 | 0.0000 | 0.5257 | 0.0000 | 3I_7 | | | 0.0028 | 0.0228 | 0.8872 | |
| 3F_3 | 3F_4 | 0.0969 | 0.0313 | 0.0957 | | 3I_8 | 0.0000 | 0.0098 | 0.0939 | |
| | 3S_2 | 0.0070 | 0.0001 | 0.0000 | | 3I_6 | 3I_7 | 0.0316 | 0.1330 | 0.9310 |
| | 3F_5 | 0.0397 | 0.0807 | 0.0846 | | | 3I_8 | 0.0086 | 0.0387 | 0.6916 |
| | 3I_4 | 0.0002 | 0.0982 | 0.3953 | | | 3I_7 | 0.0316 | 0.1330 | 0.9310 |
| | 3I_5 | 0.0000 | 0.2185 | 0.0179 | 3I_8 | | 0.0086 | 0.0387 | 0.6916 | |
| | 3I_6 | 0.0000 | 0.0892 | 0.2167 | 3I_7 | | 0.0250 | 0.1348 | 1.5242 | |
| | 3I_7 | 0.0000 | 0.2472 | 0.2275 | 3I_8 | | 0.0250 | 0.1348 | 1.5242 | |
| | 3I_8 | 0.0000 | 0.0000 | 0.3465 | | | | | | |

| Transition | $ U^{(2)} ^2$ | $ U^{(4)} ^2$ | $ U^{(6)} ^2$ |
|-------------------------------|---------------|---------------|---------------|
| ${}^5F_4 \rightarrow {}^5S_2$ | 0.0000 | 0.0159 | 0.0033 |
| ${}^5F_4 \rightarrow {}^5F_5$ | 0.1944 | 0.0923 | 0.0080 |
| ${}^5F_4 \rightarrow {}^5I_4$ | 0.0001 | 0.0234 | 0.2587 |
| ${}^5F_4 \rightarrow {}^5I_5$ | 0.0018 | 0.1314 | 0.4655 |
| ${}^5F_4 \rightarrow {}^5I_6$ | 0.0012 | 0.2580 | 0.1697 |
| ${}^5F_4 \rightarrow {}^5I_7$ | 0.0000 | 0.1988 | 0.0324 |
| ${}^5F_4 \rightarrow {}^5I_8$ | 0.0000 | 0.2402 | 0.7079 |
| ${}^5S_2 \rightarrow {}^5F_5$ | 0.0000 | 0.0110 | 0.0036 |
| ${}^5S_2 \rightarrow {}^5I_4$ | 0.0013 | 0.0279 | 0.2795 |
| ${}^5S_2 \rightarrow {}^5I_5$ | 0.0000 | 0.0043 | 0.1062 |
| ${}^5S_2 \rightarrow {}^5I_6$ | 0.0000 | 0.0206 | 0.1541 |
| ${}^5S_2 \rightarrow {}^5I_7$ | 0.0000 | 0.0000 | 0.4096 |
| ${}^5S_2 \rightarrow {}^5I_8$ | 0.0000 | 0.0000 | 0.2270 |
| ${}^5F_5 \rightarrow {}^5I_4$ | 0.0001 | 0.0059 | 0.0040 |
| ${}^5F_5 \rightarrow {}^5I_5$ | 0.0068 | 0.0271 | 0.1649 |
| ${}^5F_5 \rightarrow {}^5I_6$ | 0.0102 | 0.1213 | 0.4995 |
| ${}^5F_5 \rightarrow {}^5I_7$ | 0.0177 | 0.3298 | 0.4340 |
| ${}^5F_5 \rightarrow {}^5I_8$ | 0.0000 | 0.4277 | 0.5686 |
| ${}^5I_4 \rightarrow {}^5I_5$ | 0.0312 | 0.1237 | 0.9099 |
| ${}^5I_4 \rightarrow {}^5I_6$ | 0.0022 | 0.0281 | 0.6640 |
| ${}^5I_4 \rightarrow {}^5I_7$ | 0.0000 | 0.0033 | 0.1568 |
| ${}^5I_4 \rightarrow {}^5I_8$ | 0.0000 | 0.0000 | 0.0077 |
| ${}^5I_5 \rightarrow {}^5I_6$ | 0.0438 | 0.1705 | 0.5729 |
| ${}^5I_5 \rightarrow {}^5I_7$ | 0.0027 | 0.0226 | 0.8887 |
| ${}^5I_5 \rightarrow {}^5I_8$ | 0.0000 | 0.0099 | 0.0936 |
| ${}^5I_6 \rightarrow {}^5I_7$ | 0.0319 | 0.1336 | 0.9308 |
| ${}^5I_6 \rightarrow {}^5I_8$ | 0.0083 | 0.0383 | 0.6918 |
| ${}^5I_7 \rightarrow {}^5I_8$ | 0.0249 | 0.1344 | 1.5217 |

الملخص

الهدف من هذا العمل هو دراسة الخصائص المرئية والطيافية و لزج مطعم بالهولميوم Ho^{+3} ذي التركيبة المولية $79NaPO_3-10SrF_2-10ZnF_2 - HoF_3$. أنجزت هذه الدراسة في جزئين، جزء يضم حوصلة عامة حول الزجاج المطعم بالعناصر الترابية النادرة ودراسة أهم خصائصه الميكانيكية. أما الجزء الثاني خصص لتعيين المعاملات المرئية اعتماداً على طريقة الأمواج فوق الصوتية، وكذلك حساب الوسائط الطيفية استناداً إلى نظرية جود أوفيلت "Judd-Ofelt" و

Rrèsumé:

Le but de ce travail est l'étude des propriétés élastiques et spectroscopiques d'un verre dopé Ho^{+3} avec la composition molaire : $79 NaPO_3 - 10 SrF_2 - 10ZnF_2 - HoF_3$. Cette étude est réalisée en deux parties, une section qui assemble des notions sur les verres dopés terres rares et l'étude ainsi que ses propriétés mécaniques intéressantes, et l'autre section ultrasonique , et est Alloué pour désigner les modules élastiques Selon la méthode de ainsi calcul les paramètres spectroscopiques basé sur la théorie de "Judd-Ofelt" Les résultats de cette étude montrent que ce verre possède des propriétés élastiques et spectroscopiques comparables avec celles autres verres. A la base de ces résultats, ce verre peut être utilisé dans les applications optiques actives telles que les lasers et les amplificateurs optiques

Mots clés: Holmium, Verre dopé, les modules élastiques, Terre rare, Théorie de Judd-Ofelt, les paramètres spectroscopiques

:Rrèsumé

The aim of this work is the study of the elastic properties and spectroscopic a glass doped with Ho^{+3} molar composition: $79 NaPO_3 - 10 SrF_2 - 10ZnF_2 - HoF_3$. This study was conducted in two parts, a section which assembles notions on glasses doped rare earth and the study and its advantageous mechanical properties, and the other section is assigned to designate the elastic moduli According to the ultrasonic method, and and calculating the spectroscopic parameters based on the theory of "Judd-Ofelt" The results of this study show that this glass has elastic and spectroscopic properties comparable with other glasses. At the base of these results, this glass can be used in the active optical applications such as lasers and optical amplifiers

Keywords: Holmium Glass doped, elastic moduli, Rare Earth, Theory Judd-Ofelt, spectroscopic parameters